

Quelques liens entre géométrie algébrique et codage

Hugues Randriam

Journée LTCl
2018-10-11

Géométrie algébrique

C'est l'étude des objets géométriques (courbes, surfaces...) qui peuvent être définis de façon algébrique (par des polynômes).

Historique succinct

- ▶ Apollonius (III^e s. AEC) : *Traité des sections coniques*
- ▶ Omar Khayyam (1070) : résolution des équations de degré 3 par intersection de coniques
- ▶ Descartes (1637) : *La Géométrie* (analytique/algébrique)
- ▶ Newton (fin XVII^e s.) : classification (presque complète) des cubiques planes réelles
- ▶ ...

Historique succinct

- ▶ Apollonius (III^e s. AEC) : *Traité des sections coniques*
- ▶ Omar Khayyam (1070) : résolution des équations de degré 3 par intersection de coniques
- ▶ Descartes (1637) : *La Géométrie* (analytique/algébrique)
- ▶ Newton (fin XVII^e s.) : classification (presque complète) des cubiques planes réelles
- ▶ ...
- ▶ XIX^e s., première moitié XX^e s. : écoles allemande, italienne, américaine

Historique succinct

- ▶ Apollonius (III^e s. AEC) : *Traité des sections coniques*
- ▶ Omar Khayyam (1070) : résolution des équations de degré 3 par intersection de coniques
- ▶ Descartes (1637) : *La Géométrie* (analytique/algébrique)
- ▶ Newton (fin XVII^e s.) : classification (presque complète) des cubiques planes réelles
- ▶ ...
- ▶ XIX^e s., première moitié XX^e s. : écoles allemande, italienne, américaine
- ▶ seconde moitié XX^e s. : école française (Grothendieck, Serre) → schémas, faisceaux, cohomologie...

On peut travailler sur \mathbb{C} (le plus simple en général), sur \mathbb{R} , sur un corps fini \mathbb{F}_q (pour les applications codage/crypto), ou sur \mathbb{Q} , \mathbb{Z} (problèmes diophantiens).

Il est naturel aussi de se placer dans le cadre de la géométrie projective (Pappus, Desargues...), en ajoutant des points à l'infini.

Ex. : théorème de Bézout, dans le plan, deux courbes définies par des polynômes de degré m et n ont mn points d'intersection.

Ici on va motiver notre approche par les équations diophantiennes.

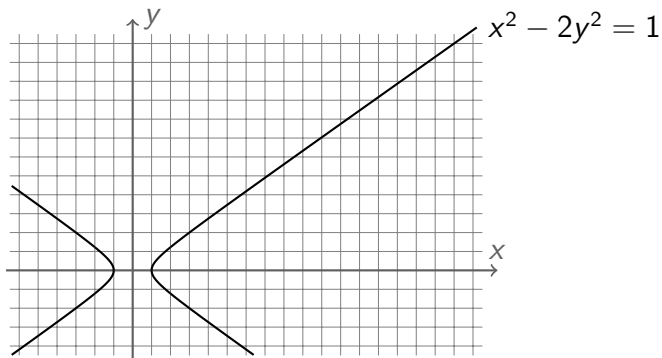
Déjà en dimension 1 (courbes) la théorie est très riche.

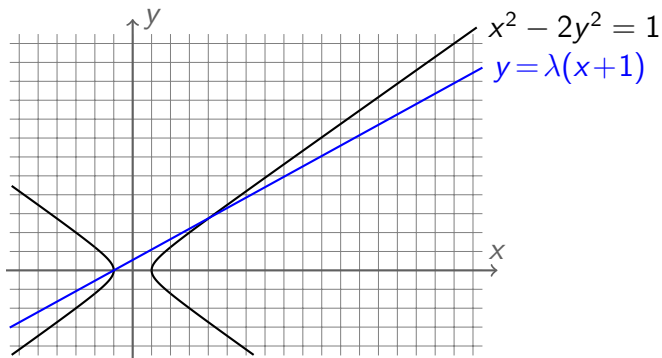
Slogan : “la géométrie gouverne l’arithmétique” .

Genre 0

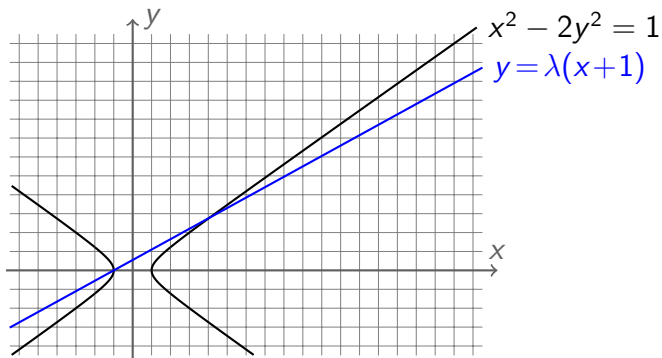
Pell-Fermat : trouver les solutions (entières) de

$$x^2 - Ny^2 = c.$$

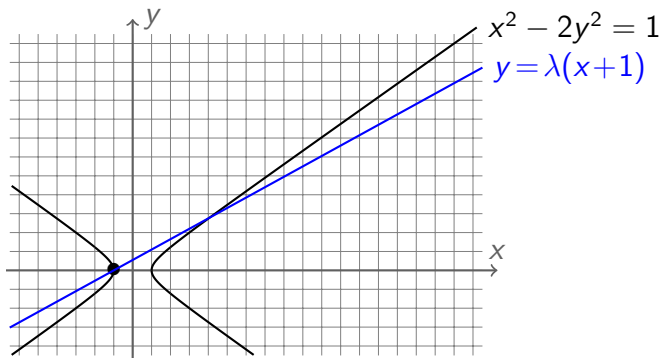




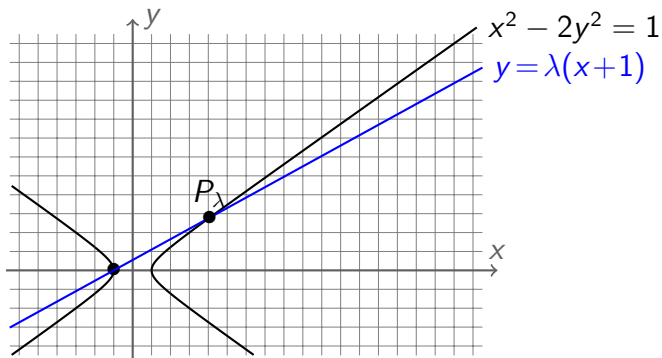
Paramétrisation : on intersecte avec la droite $y = \lambda(x + 1)$



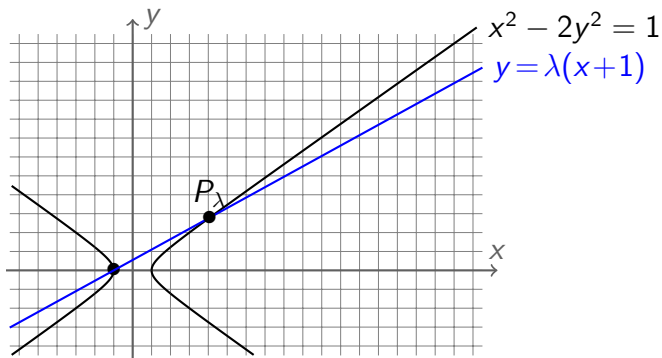
Paramétrisation : on intersecte avec la droite $y = \lambda(x + 1)$
 $\rightarrow x^2 - 2\lambda^2(x + 1)^2 = 1,$



Paramétrisation : on intersecte avec la droite $y = \lambda(x + 1)$
 $\rightarrow x^2 - 2\lambda^2(x + 1)^2 = 1$, i.e. $(x + 1)((x - 1) - 2\lambda^2(x + 1)) = 0$



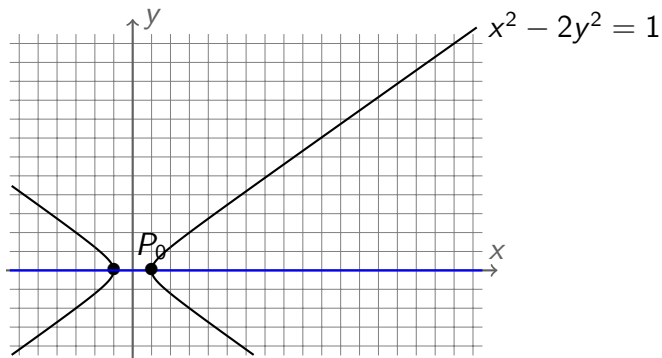
Paramétrisation : on intersecte avec la droite $y = \lambda(x + 1)$
 $\rightarrow x^2 - 2\lambda^2(x + 1)^2 = 1$, i.e. $(x + 1)((x - 1) - 2\lambda^2(x + 1)) = 0$
 $\rightarrow P_\lambda = \begin{pmatrix} x_\lambda \\ y_\lambda \end{pmatrix}$ où $x_\lambda = \frac{1 + 2\lambda^2}{1 - 2\lambda^2}$



Paramétrisation : on intersecte avec la droite $y = \lambda(x + 1)$

$$\rightarrow x^2 - 2\lambda^2(x + 1)^2 = 1, \text{ i.e. } (x + 1)((x - 1) - 2\lambda^2(x + 1)) = 0$$

$$\rightarrow P_\lambda = \begin{pmatrix} x_\lambda \\ y_\lambda \end{pmatrix} \text{ où } x_\lambda = \frac{1 + 2\lambda^2}{1 - 2\lambda^2} \text{ et } y_\lambda = \frac{2\lambda}{1 - 2\lambda^2}$$

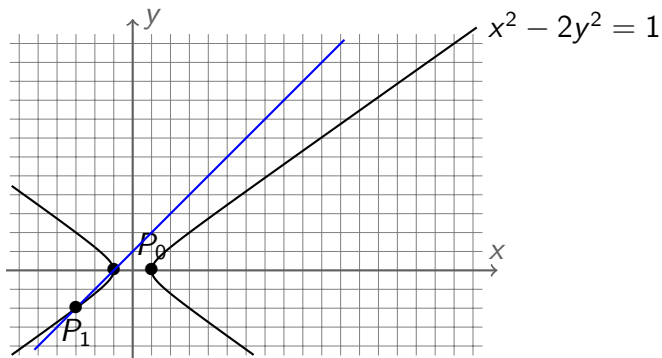


Paramétrisation : on intersecte avec la droite $y = \lambda(x + 1)$

$$\rightarrow x^2 - 2\lambda^2(x + 1)^2 = 1, \text{ i.e. } (x + 1)((x - 1) - 2\lambda^2(x + 1)) = 0$$

$$\rightarrow P_\lambda = \begin{vmatrix} x_\lambda \\ y_\lambda \end{vmatrix} \quad \text{où} \quad x_\lambda = \frac{1 + 2\lambda^2}{1 - 2\lambda^2} \quad \text{et} \quad y_\lambda = \frac{2\lambda}{1 - 2\lambda^2}$$

$$\text{ex. : } P_0 = \begin{vmatrix} 1 \\ 0 \end{vmatrix}$$

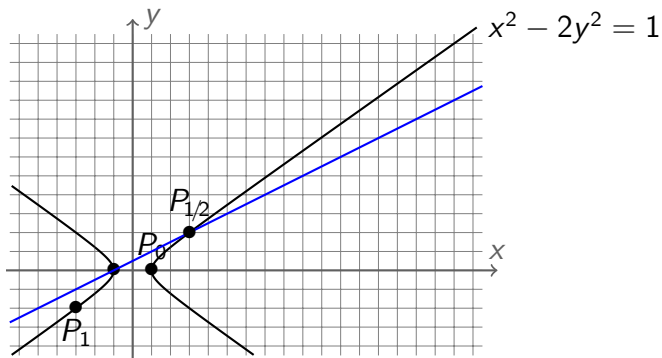


Paramétrisation : on intersecte avec la droite $y = \lambda(x + 1)$

$$\rightarrow x^2 - 2\lambda^2(x + 1)^2 = 1, \text{ i.e. } (x + 1)((x - 1) - 2\lambda^2(x + 1)) = 0$$

$$\rightarrow P_\lambda = \begin{pmatrix} x_\lambda \\ y_\lambda \end{pmatrix} \quad \text{où} \quad x_\lambda = \frac{1 + 2\lambda^2}{1 - 2\lambda^2} \quad \text{et} \quad y_\lambda = \frac{2\lambda}{1 - 2\lambda^2}$$

$$\text{ex. : } P_0 = \begin{pmatrix} 1 \\ 0 \end{pmatrix} \quad P_1 = \begin{pmatrix} -3 \\ -2 \end{pmatrix}$$

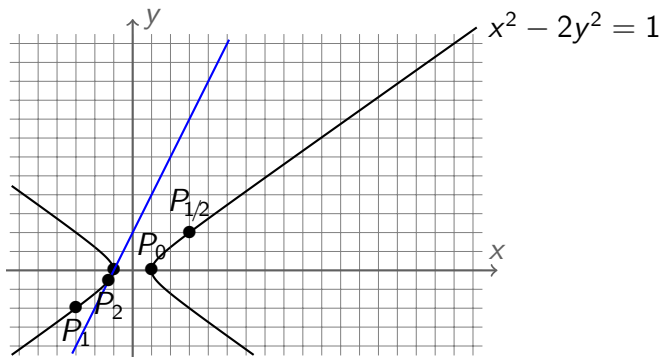


Paramétrisation : on intersecte avec la droite $y = \lambda(x + 1)$

$$\rightarrow x^2 - 2\lambda^2(x + 1)^2 = 1, \text{ i.e. } (x + 1)((x - 1) - 2\lambda^2(x + 1)) = 0$$

$$\rightarrow P_\lambda = \begin{pmatrix} x_\lambda \\ y_\lambda \end{pmatrix} \text{ où } x_\lambda = \frac{1 + 2\lambda^2}{1 - 2\lambda^2} \text{ et } y_\lambda = \frac{2\lambda}{1 - 2\lambda^2}$$

$$\text{ex. : } P_0 = \begin{pmatrix} 1 \\ 0 \end{pmatrix} \quad P_1 = \begin{pmatrix} -3 \\ -2 \end{pmatrix} \quad P_{1/2} = \begin{pmatrix} 3 \\ 2 \end{pmatrix}$$

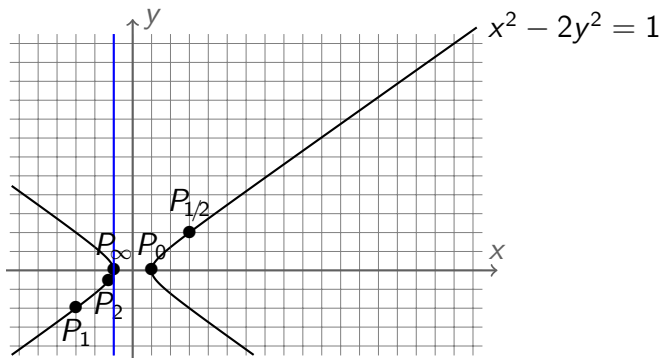


Paramétrisation : on intersecte avec la droite $y = \lambda(x + 1)$

$$\rightarrow x^2 - 2\lambda^2(x + 1)^2 = 1, \text{ i.e. } (x + 1)((x - 1) - 2\lambda^2(x + 1)) = 0$$

$$\rightarrow P_\lambda = \begin{pmatrix} x_\lambda \\ y_\lambda \end{pmatrix} \text{ où } x_\lambda = \frac{1 + 2\lambda^2}{1 - 2\lambda^2} \text{ et } y_\lambda = \frac{2\lambda}{1 - 2\lambda^2}$$

$$\text{ex. : } P_0 = \begin{pmatrix} 1 \\ 0 \end{pmatrix} \quad P_1 = \begin{pmatrix} -3 \\ -2 \end{pmatrix} \quad P_{1/2} = \begin{pmatrix} 3 \\ 2 \end{pmatrix} \quad P_2 = \begin{pmatrix} -9/7 \\ -4/7 \end{pmatrix}$$

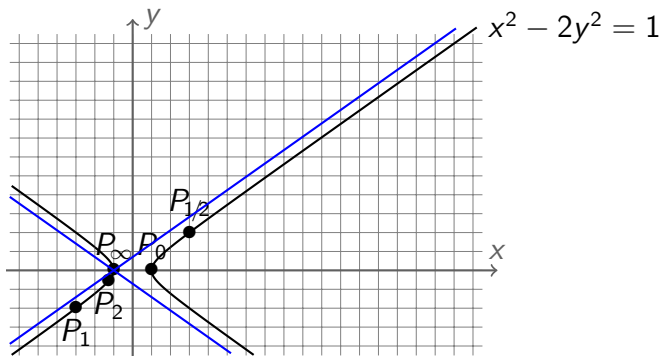


Paramétrisation : on intersecte avec la droite $y = \lambda(x + 1)$

$$\rightarrow x^2 - 2\lambda^2(x + 1)^2 = 1, \text{ i.e. } (x + 1)((x - 1) - 2\lambda^2(x + 1)) = 0$$

$$\rightarrow P_\lambda = \begin{pmatrix} x_\lambda \\ y_\lambda \end{pmatrix} \text{ où } x_\lambda = \frac{1 + 2\lambda^2}{1 - 2\lambda^2} \text{ et } y_\lambda = \frac{2\lambda}{1 - 2\lambda^2}$$

$$\text{ex. : } P_\infty = \begin{pmatrix} -1 \\ 0 \end{pmatrix}$$

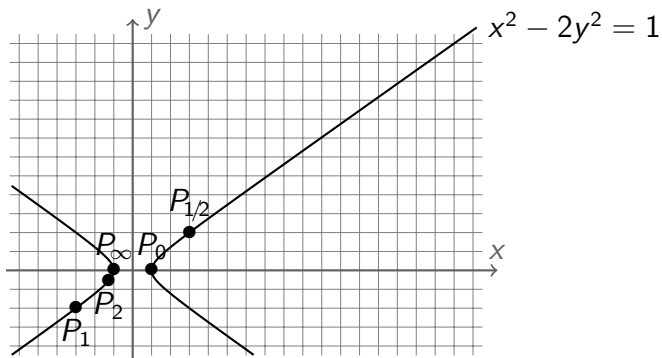


Paramétrisation : on intersecte avec la droite $y = \lambda(x + 1)$

$$\rightarrow x^2 - 2\lambda^2(x + 1)^2 = 1, \text{ i.e. } (x + 1)((x - 1) - 2\lambda^2(x + 1)) = 0$$

$$\rightarrow P_\lambda = \begin{cases} x_\lambda \\ y_\lambda \end{cases} \text{ où } x_\lambda = \frac{1 + 2\lambda^2}{1 - 2\lambda^2} \text{ et } y_\lambda = \frac{2\lambda}{1 - 2\lambda^2}$$

$$\text{ex. : } P_\infty = \begin{cases} -1 \\ 0 \end{cases} \quad P_{\sqrt{2}/2}, P_{-\sqrt{2}/2} \text{ à l'infini.}$$

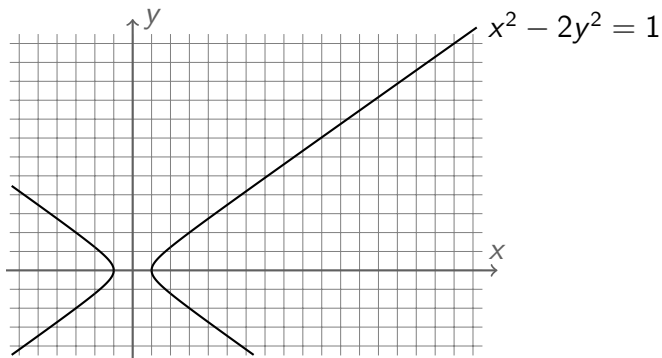


Paramétrisation : on intersecte avec la droite $y = \lambda(x + 1)$

$$\rightarrow x^2 - 2\lambda^2(x + 1)^2 = 1, \text{ i.e. } (x + 1)((x - 1) - 2\lambda^2(x + 1)) = 0$$

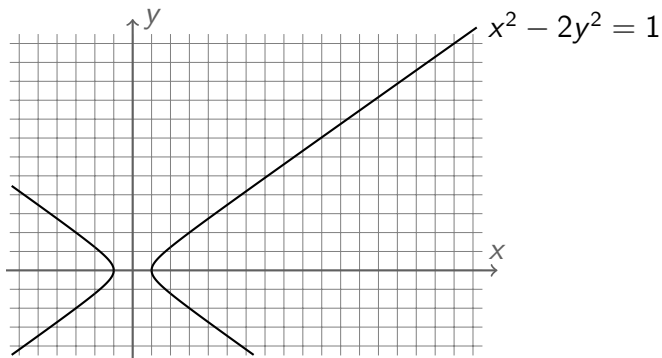
$$\rightarrow P_\lambda = \begin{pmatrix} x_\lambda \\ y_\lambda \end{pmatrix} \text{ où } x_\lambda = \frac{1 + 2\lambda^2}{1 - 2\lambda^2} \text{ et } y_\lambda = \frac{2\lambda}{1 - 2\lambda^2}$$

$$\text{ex. : } P_0 = \begin{pmatrix} 1 \\ 0 \end{pmatrix} \quad P_1 = \begin{pmatrix} -3 \\ -2 \end{pmatrix} \quad P_{1/2} = \begin{pmatrix} 3 \\ 2 \end{pmatrix} \quad P_2 = \begin{pmatrix} -9/7 \\ -4/7 \end{pmatrix}$$



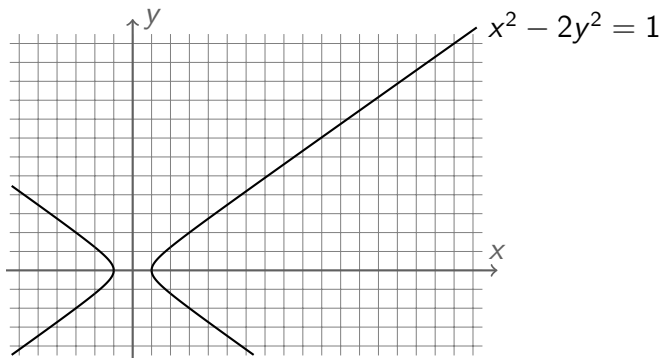
Brahmagupta (VII^e s.) : On peut “multiplier” deux points.

$$P = \begin{vmatrix} x_P \\ y_P \end{vmatrix} \quad Q = \begin{vmatrix} x_Q \\ y_Q \end{vmatrix} \quad \rightarrow \quad P \bullet Q = \begin{vmatrix} x_P x_Q + 2y_P y_Q \\ x_P y_Q + x_Q y_P \end{vmatrix}$$



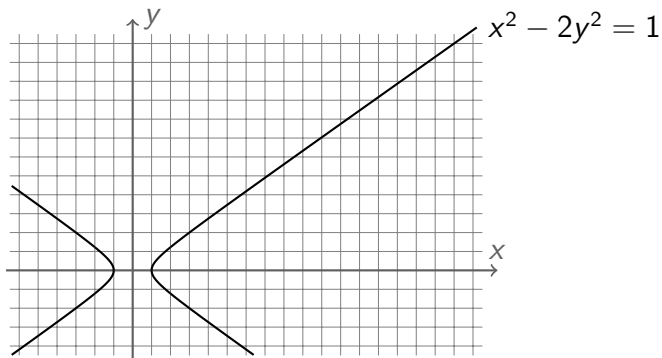
Brahmagupta (VII^e s.) : On peut “multiplier” deux points.

$$\begin{array}{l}
 P = \begin{array}{|l} x_P \\ y_P \end{array} \quad Q = \begin{array}{|l} x_Q \\ y_Q \end{array} \quad \rightarrow \quad P \bullet Q = \begin{array}{|l} x_P x_Q + 2y_P y_Q \\ x_P y_Q + x_Q y_P \end{array} \\
 (x_P x_Q + 2y_P y_Q)^2 - 2(x_P y_Q + x_Q y_P)^2 = (x_P^2 - 2y_P^2)(x_Q^2 - 2y_Q^2)
 \end{array}$$



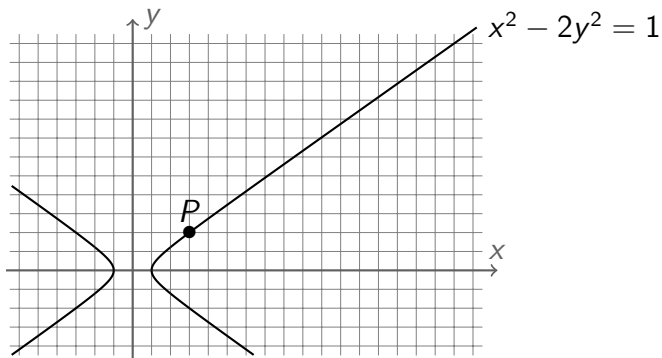
Brahmagupta (VII^e s.) : On peut “multiplier” deux points.

$$\begin{aligned}
 P = \begin{vmatrix} x_P \\ y_P \end{vmatrix} \quad Q = \begin{vmatrix} x_Q \\ y_Q \end{vmatrix} &\quad \rightarrow \quad P \bullet Q = \begin{vmatrix} x_P x_Q + 2y_P y_Q \\ x_P y_Q + x_Q y_P \end{vmatrix} \\
 (x_P x_Q + 2y_P y_Q)^2 - 2(x_P y_Q + x_Q y_P)^2 &= (x_P^2 - 2y_P^2)(x_Q^2 - 2y_Q^2) = 1
 \end{aligned}$$



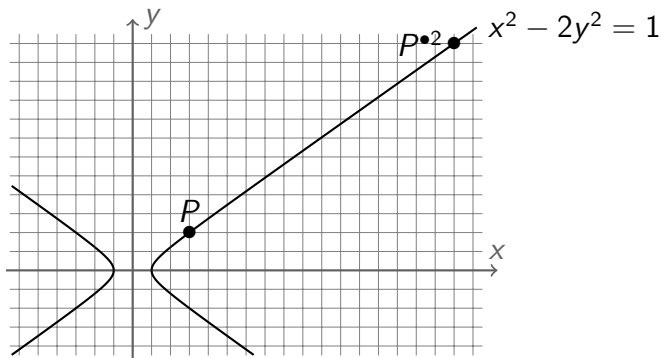
Brahmagupta (VII^e s.) : On peut “multiplier” deux points.

$$\begin{aligned}
 P = \begin{vmatrix} x_P \\ y_P \end{vmatrix} \quad Q = \begin{vmatrix} x_Q \\ y_Q \end{vmatrix} &\quad \rightarrow \quad P \bullet Q = \begin{vmatrix} x_P x_Q + 2y_P y_Q \\ x_P y_Q + x_Q y_P \end{vmatrix} \\
 (x_P x_Q + 2y_P y_Q)^2 - 2(x_P y_Q + x_Q y_P)^2 &= (x_P^2 - 2y_P^2)(x_Q^2 - 2y_Q^2) \\
 (x_P + y_P \sqrt{2})(x_Q + y_Q \sqrt{2}) &= (x_P x_Q + 2y_P y_Q) + (x_P y_Q + x_Q y_P) \sqrt{2}
 \end{aligned}$$



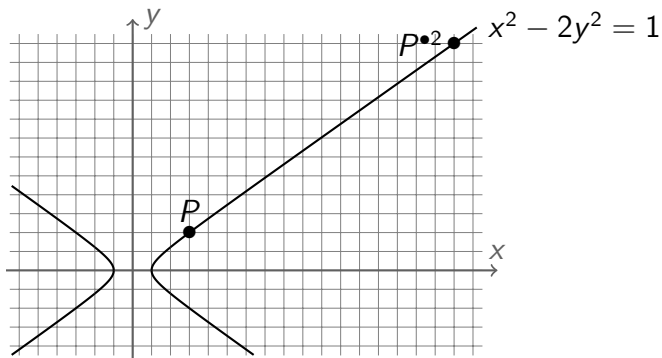
Brahmagupta (VII^e s.) : On peut “multiplier” deux points.

$$\text{ex : } P = \begin{vmatrix} 3 \\ 2 \end{vmatrix}$$



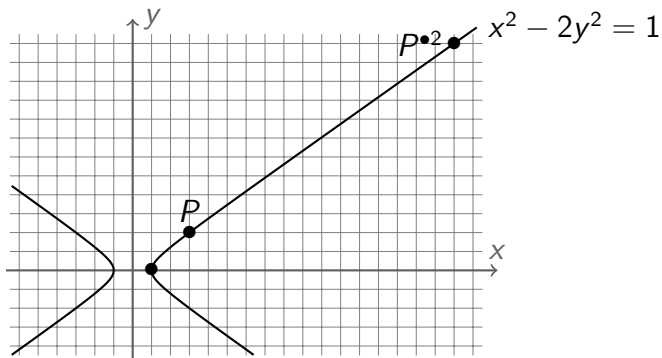
Brahmagupta (VII^e s.) : On peut “multiplier” deux points.

$$\text{ex : } P = \begin{vmatrix} 3 \\ 2 \end{vmatrix} \quad P^{\bullet 2} = P \bullet P = \begin{vmatrix} 17 \\ 12 \end{vmatrix}$$



Brahmagupta (VII^e s.) : On peut “multiplier” deux points.

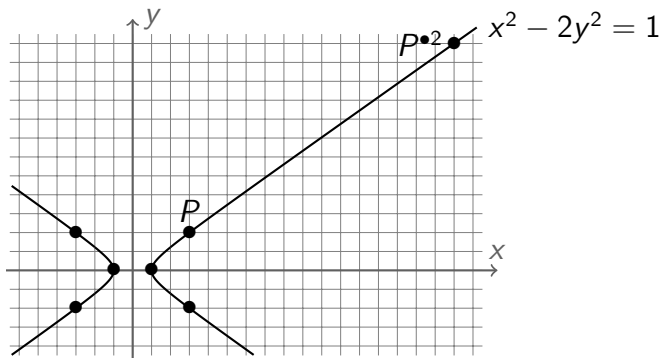
$$\text{ex : } P = \begin{vmatrix} 3 \\ 2 \end{vmatrix} \quad P \bullet 2 = P \bullet P = \begin{vmatrix} 17 \\ 12 \end{vmatrix} \quad P \bullet 3 = \begin{vmatrix} 99 \\ 70 \end{vmatrix} \quad \text{etc.}$$



Brahmagupta (VII^e s.) : On peut “multiplier” deux points.

$$\text{ex : } P = \begin{vmatrix} 3 \\ 2 \end{vmatrix} \quad P \bullet P = \begin{vmatrix} 17 \\ 12 \end{vmatrix} \quad P \bullet P \bullet P = \begin{vmatrix} 99 \\ 70 \end{vmatrix} \quad \text{etc.}$$

$$P \bullet 0 = \begin{vmatrix} 1 \\ 0 \end{vmatrix}$$



Brahmagupta (VII^e s.) : On peut “multiplier” deux points.

ex : $P = \begin{vmatrix} 3 \\ 2 \end{vmatrix}$ $P \bullet 2 = P \bullet P = \begin{vmatrix} 17 \\ 12 \end{vmatrix}$ $P \bullet 3 = \begin{vmatrix} 99 \\ 70 \end{vmatrix}$ etc.

$P \bullet 0 = \begin{vmatrix} 1 \\ 0 \end{vmatrix}$ et on **montre** qu’au signe des coordonnées près on obtient ainsi **toutes** les solutions entières.

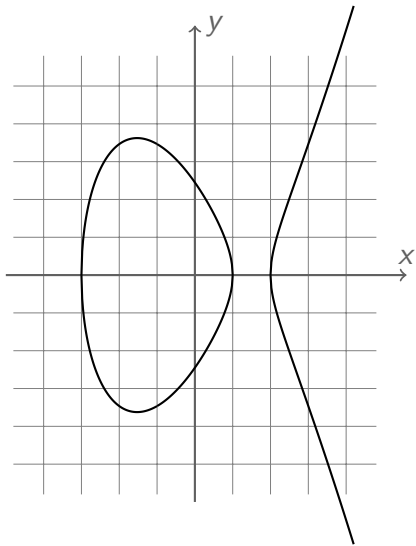
Genre 1

Courbes elliptiques.

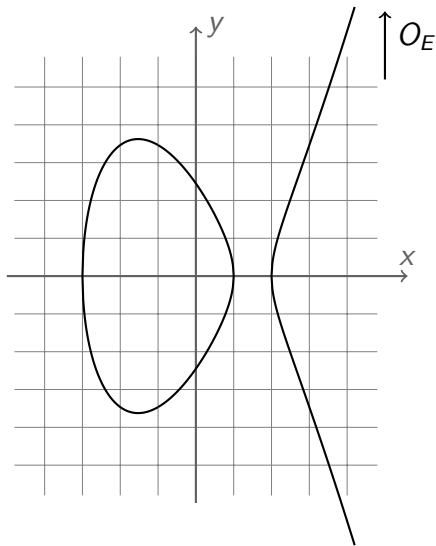
Motivation : “grand théorème de Fermat” $x^N + y^N = z^N$

- ▶ Fermat pour $N = 4$
- ▶ Wiles, etc. pour le cas général

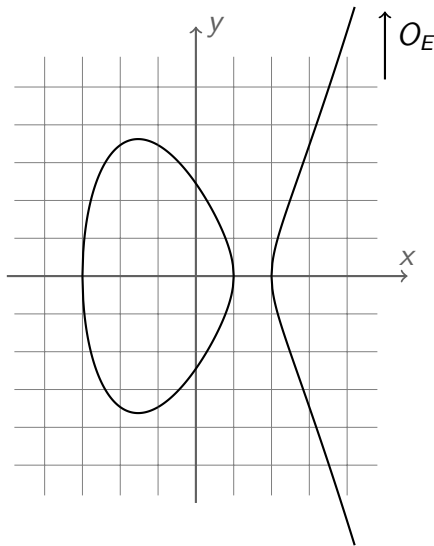
$$E : y^2 = x^3 - 7x + 6$$



$$E : y^2 = x^3 - 7x + 6$$

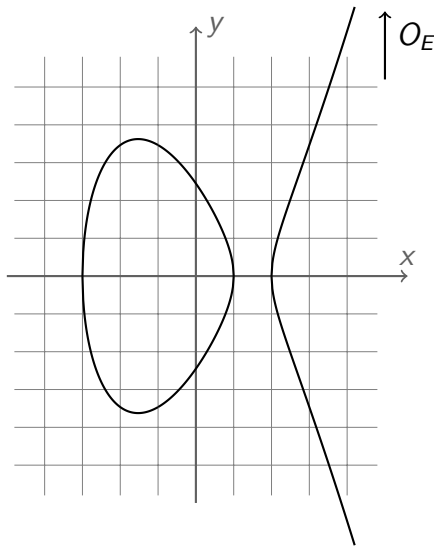


$$E : y^2 = x^3 - 7x + 6$$



On va munir E d'une loi d'**addition** (qui va en faire un groupe abélien).

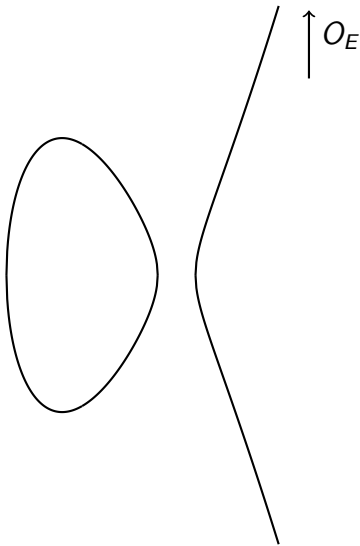
$$E : y^2 = x^3 - 7x + 6$$



On va munir E d'une loi d'**addition** (qui va en faire un groupe abélien).

Règles :

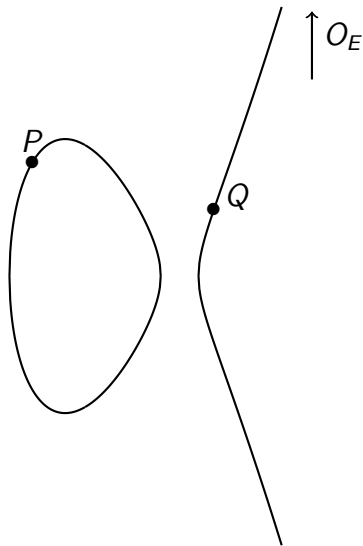
- ▶ O_E est l'élément neutre
- ▶ $P + Q + R = O_E$ ssi $\{P, Q, R\} = E \cap D$.



On va munir E d'une loi d'**addition** (qui va en faire un groupe abélien).

Règles :

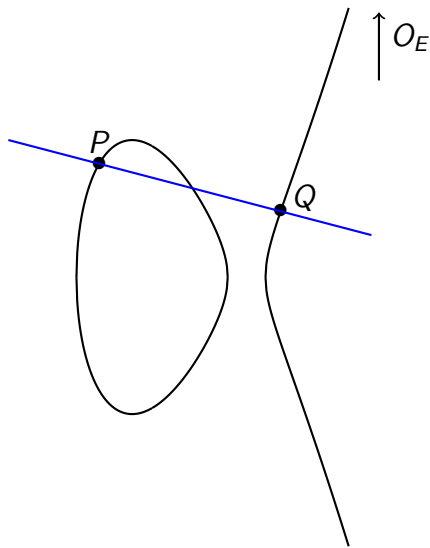
- ▶ O_E est l'élément neutre
- ▶ $P + Q + R = O_E$ ssi $\{P, Q, R\} = E \cap D$.



On va munir E d'une loi d'**addition** (qui va en faire un groupe abélien).

Règles :

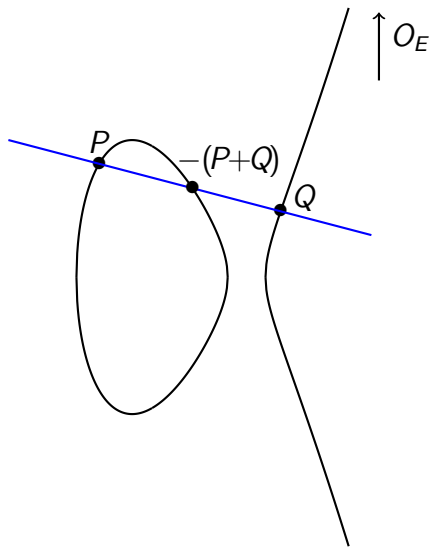
- ▶ O_E est l'élément neutre
- ▶ $P + Q + R = O_E$ ssi $\{P, Q, R\} = E \cap D$.



On va munir E d'une loi d'**addition** (qui va en faire un groupe abélien).

Règles :

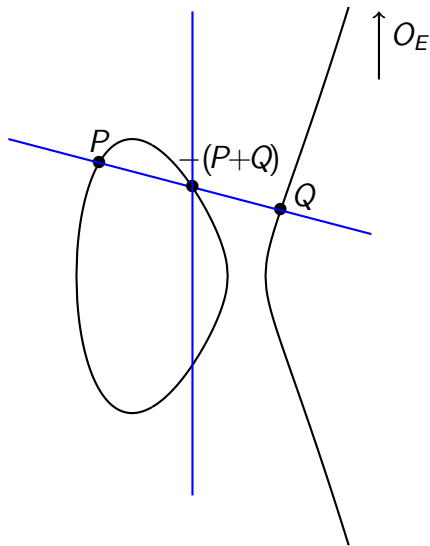
- ▶ O_E est l'élément neutre
- ▶ $P + Q + R = O_E$ ssi $\{P, Q, R\} = E \cap D$.



On va munir E d'une loi d'**addition** (qui va en faire un groupe abélien).

Règles :

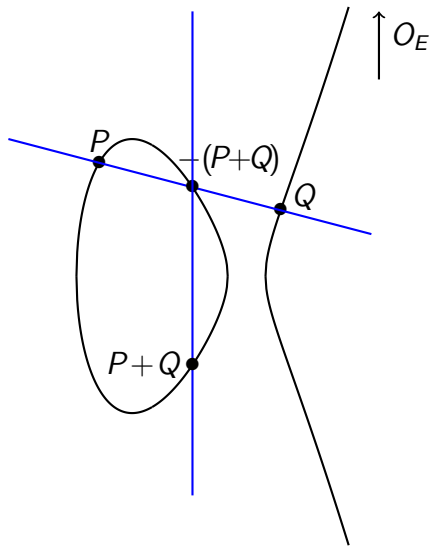
- ▶ O_E est l'élément neutre
- ▶ $P + Q + R = O_E$ ssi $\{P, Q, R\} = E \cap D$.



On va munir E d'une loi d'**addition** (qui va en faire un groupe abélien).

Règles :

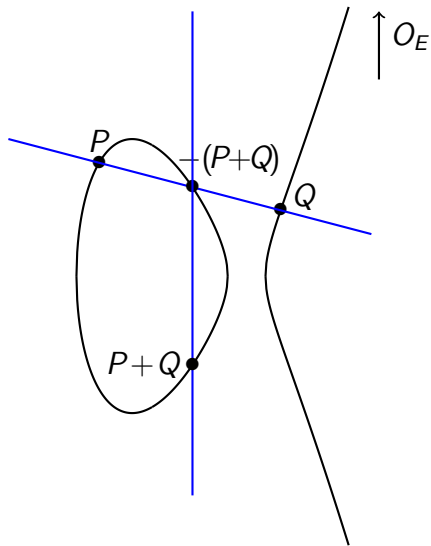
- ▶ O_E est l'élément neutre
- ▶ $P + Q + R = O_E$ ssi $\{P, Q, R\} = E \cap D$.



On va munir E d'une loi d'**addition** (qui va en faire un groupe abélien).

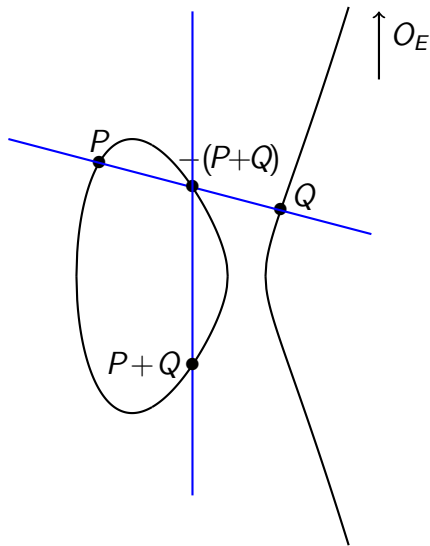
Règles :

- ▶ O_E est l'élément neutre
- ▶ $P + Q + R = O_E$ ssi $\{P, Q, R\} = E \cap D$.



Formules explicites :

$$P = \begin{pmatrix} x_P \\ y_P \end{pmatrix} \quad Q = \begin{pmatrix} x_Q \\ y_Q \end{pmatrix}$$

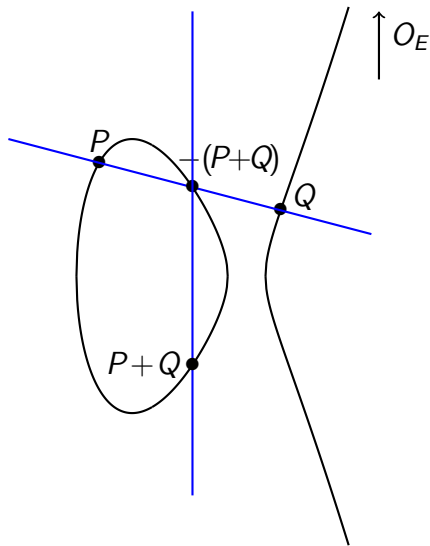


Formules explicites :

$$P = \begin{vmatrix} x_P \\ y_P \end{vmatrix} \quad Q = \begin{vmatrix} x_Q \\ y_Q \end{vmatrix}$$

$$(PQ) : y = \lambda(x - x_P) + y_P$$

où $\lambda = (y_Q - y_P) / (x_Q - x_P)$



Formules explicites :

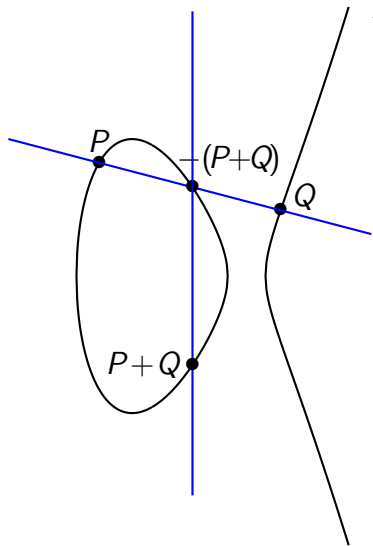
$$P = \begin{vmatrix} x_P \\ y_P \end{vmatrix} \quad Q = \begin{vmatrix} x_Q \\ y_Q \end{vmatrix}$$

$$(PQ) : y = \lambda(x - x_P) + y_P$$

où $\lambda = (y_Q - y_P) / (x_Q - x_P)$

$$E \cap (PQ) :$$

$$E : y^2 = x^3 - 7x + 6$$



Formules explicites :

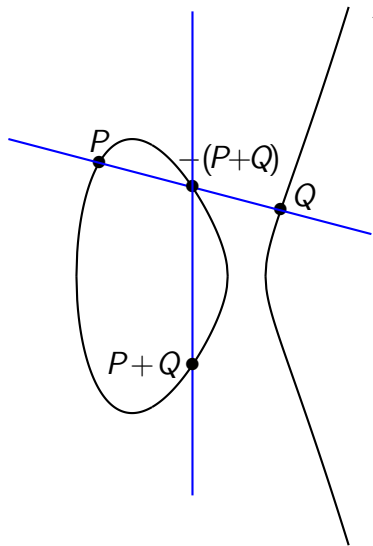
$$P = \begin{pmatrix} x_P \\ y_P \end{pmatrix} \quad Q = \begin{pmatrix} x_Q \\ y_Q \end{pmatrix}$$

$$(PQ) : y = \lambda(x - x_P) + y_P$$

où $\lambda = (y_Q - y_P) / (x_Q - x_P)$

$$E \cap (PQ) :$$

$$E : y^2 = x^3 - 7x + 6$$



$\uparrow O_E$

Formules explicites :

$$P = \begin{pmatrix} x_P \\ y_P \end{pmatrix} \quad Q = \begin{pmatrix} x_Q \\ y_Q \end{pmatrix}$$

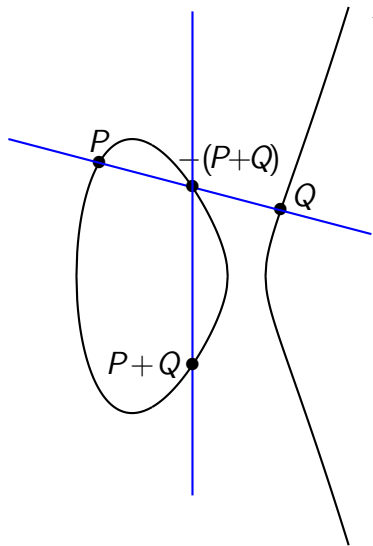
$$(PQ) : y = \lambda(x - x_P) + y_P$$

où $\lambda = (y_Q - y_P)/(x_Q - x_P)$

$$E \cap (PQ) :$$

$$\rightarrow x^3 - \lambda^2 x^2 + \dots = 0$$

$$E : y^2 = x^3 - 7x + 6$$



Formules explicites :

$$P = \begin{pmatrix} x_P \\ y_P \end{pmatrix} \quad Q = \begin{pmatrix} x_Q \\ y_Q \end{pmatrix}$$

$$(PQ) : y = \lambda(x - x_P) + y_P$$

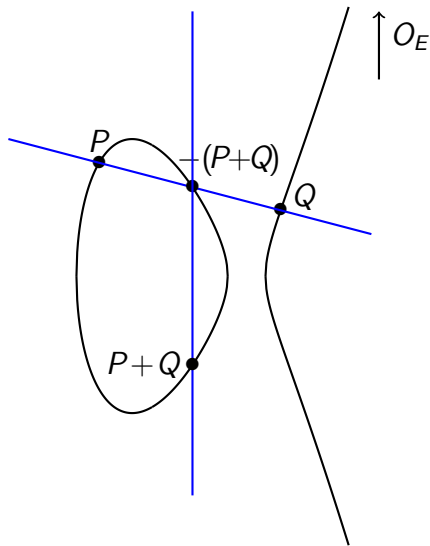
où $\lambda = (y_Q - y_P) / (x_Q - x_P)$

$$E \cap (PQ) :$$

$$\rightarrow x^3 - \lambda^2 x^2 + \dots = 0$$

racines x_P, x_Q, x_{P+Q}

$$E : y^2 = x^3 - 7x + 6$$



Formules explicites :

$$P = \begin{pmatrix} x_P \\ y_P \end{pmatrix} \quad Q = \begin{pmatrix} x_Q \\ y_Q \end{pmatrix}$$

$$(PQ) : y = \lambda(x - x_P) + y_P$$

où $\lambda = (y_Q - y_P) / (x_Q - x_P)$

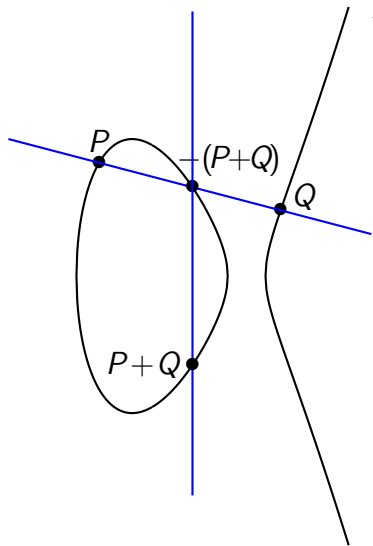
$$E \cap (PQ) :$$

$$\rightarrow x^3 - \lambda^2 x^2 + \dots = 0$$

racines x_P, x_Q, x_{P+Q}

$$x_{P+Q} = \lambda^2 - x_P - x_Q$$

$$E : y^2 = x^3 - 7x + 6$$



$\uparrow O_E$

Formules explicites :

$$P = \begin{pmatrix} x_P \\ y_P \end{pmatrix} \quad Q = \begin{pmatrix} x_Q \\ y_Q \end{pmatrix}$$

$$(PQ) : y = \lambda(x - x_P) + y_P$$

où $\lambda = (y_Q - y_P)/(x_Q - x_P)$

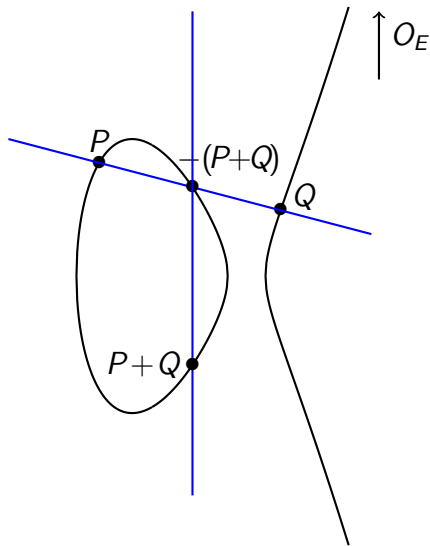
$$E \cap (PQ) :$$

$$\rightarrow x^3 - \lambda^2 x^2 + \dots = 0$$

racines x_P, x_Q, x_{P+Q}

$$x_{P+Q} = \lambda^2 - x_P - x_Q$$

$$y_{P+Q} = -\lambda(x_{P+Q} - x_P) - y_P$$



Groupe abélien :

▶ neutre O_E

▶ opposé

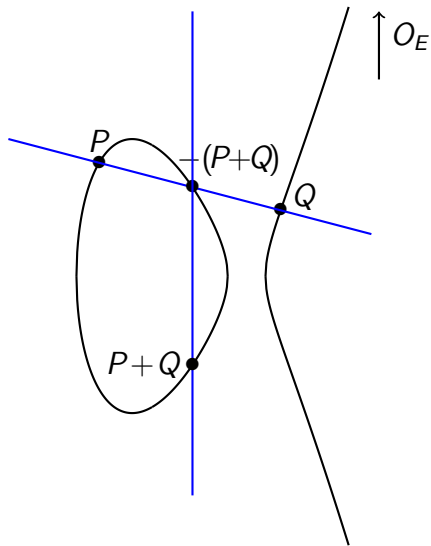
$$-\begin{vmatrix} x \\ y \end{vmatrix} = \begin{vmatrix} x \\ -y \end{vmatrix}$$

▶ commutativité

$$P + Q = Q + P$$

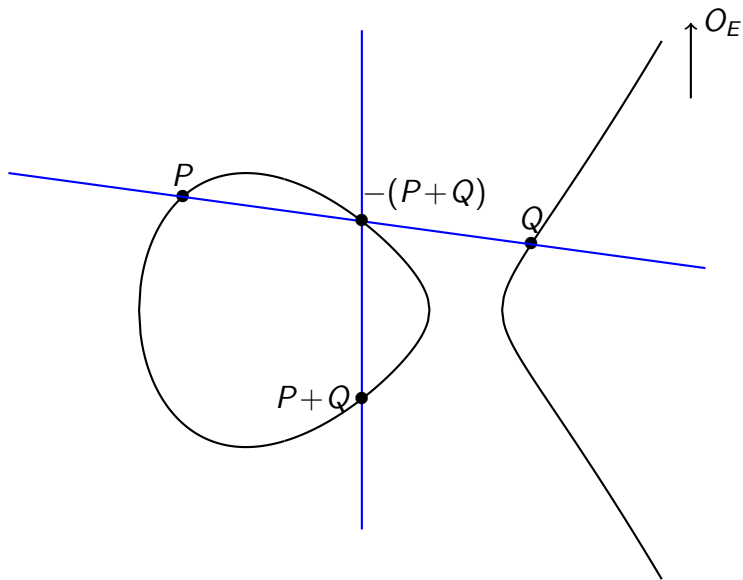
▶ associativité

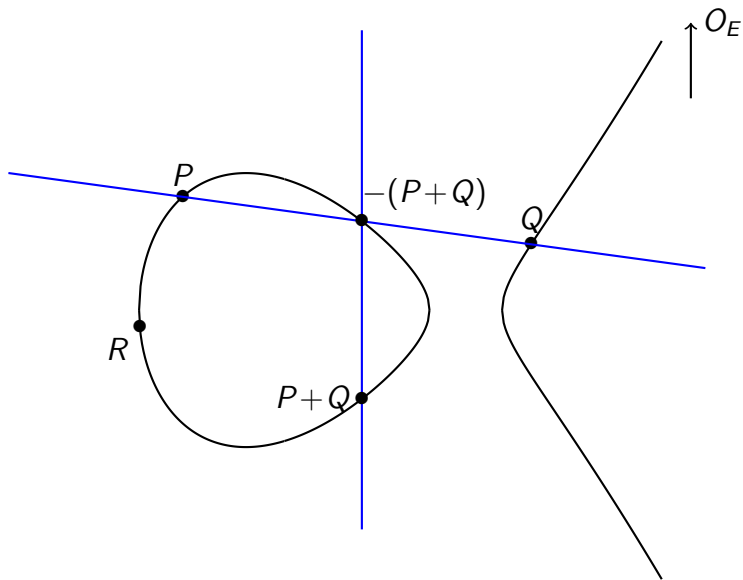
$$(P+Q)+R = P+(Q+R)$$

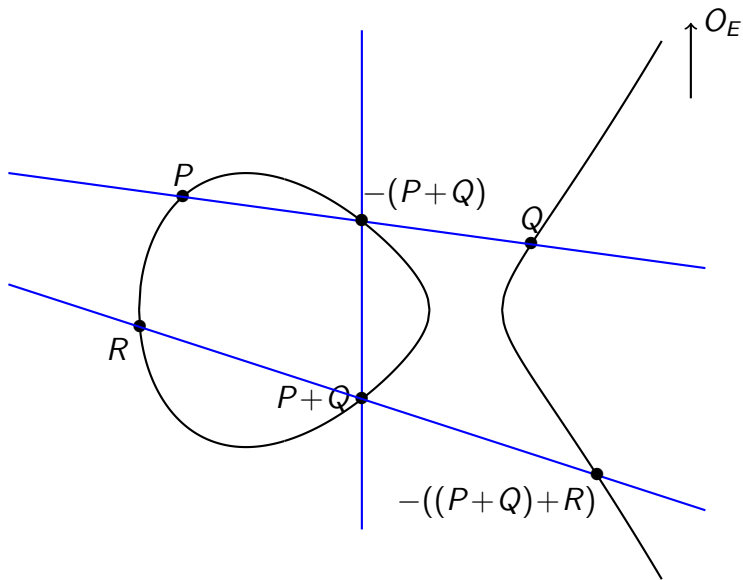


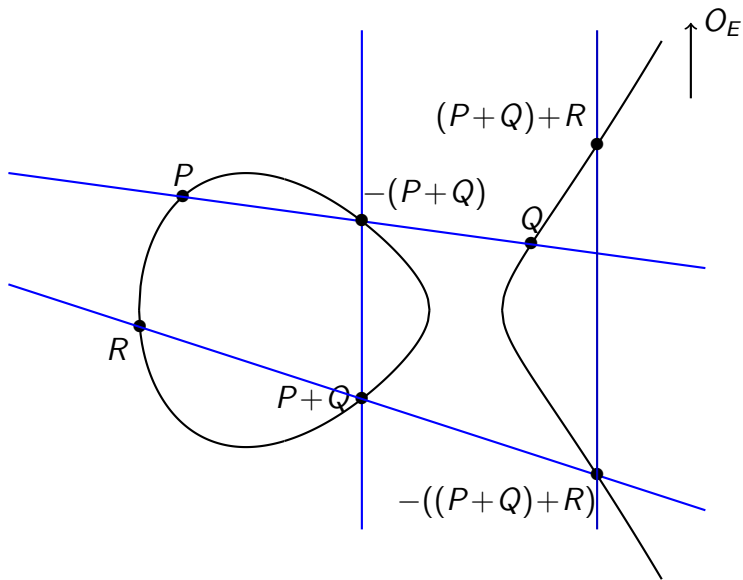
► associativité

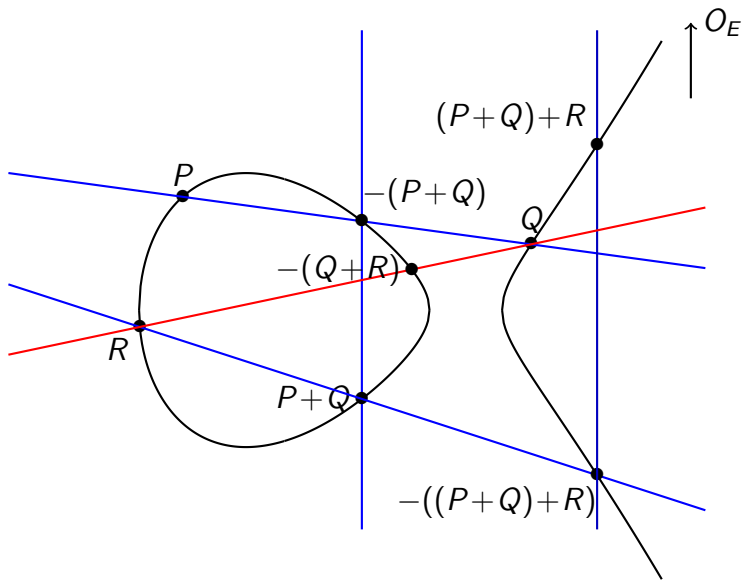
$$(P+Q)+R \stackrel{???}{=} P+(Q+R)$$

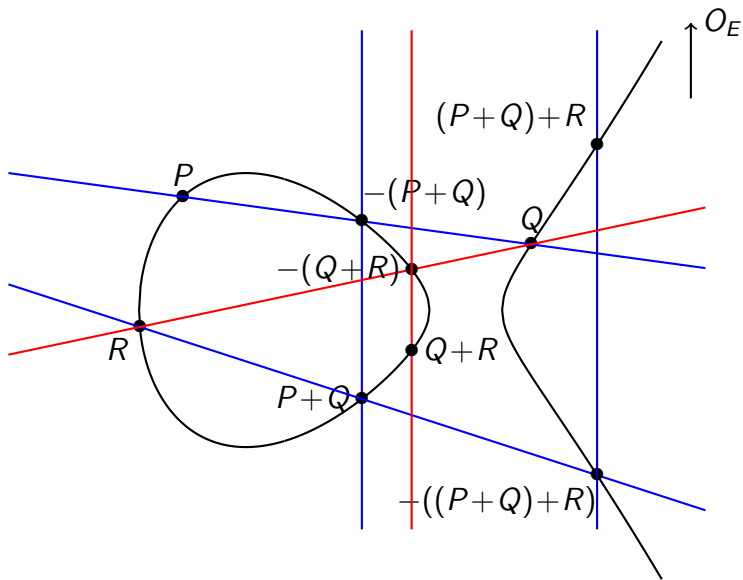


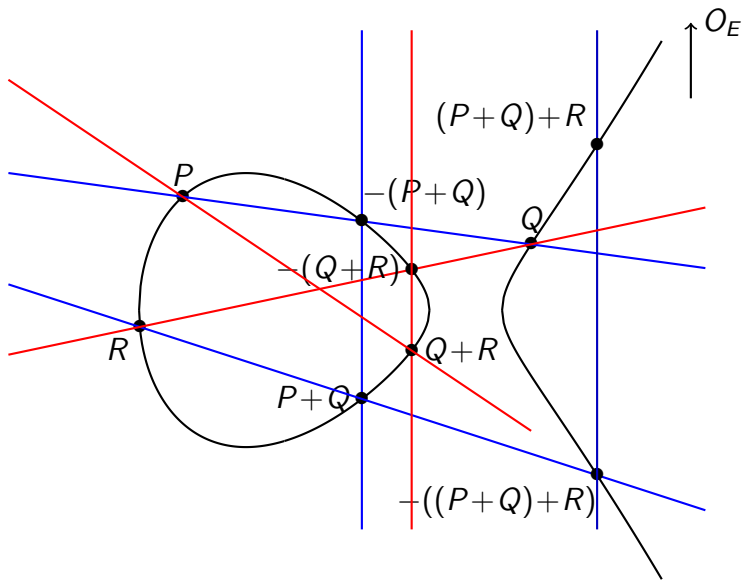


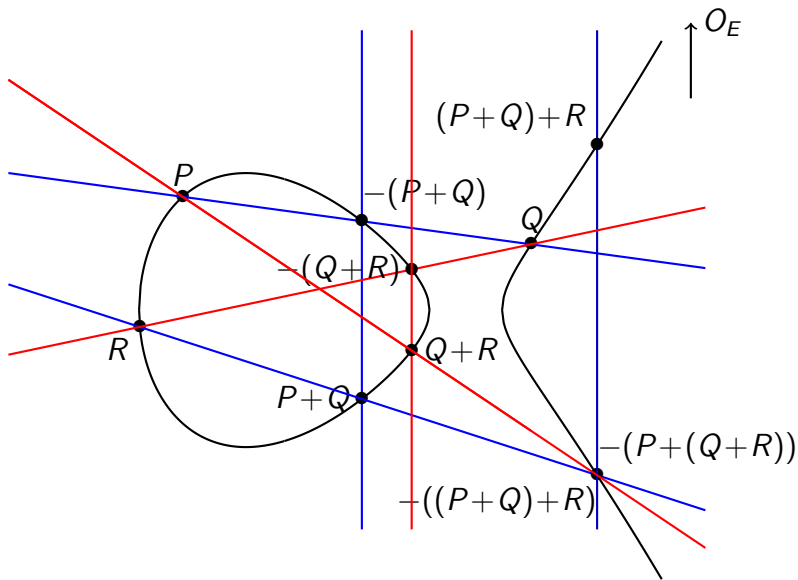


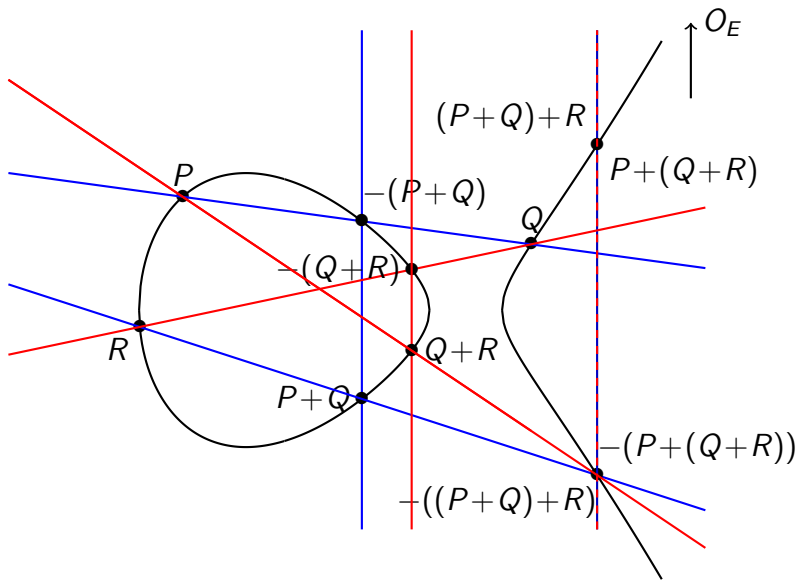


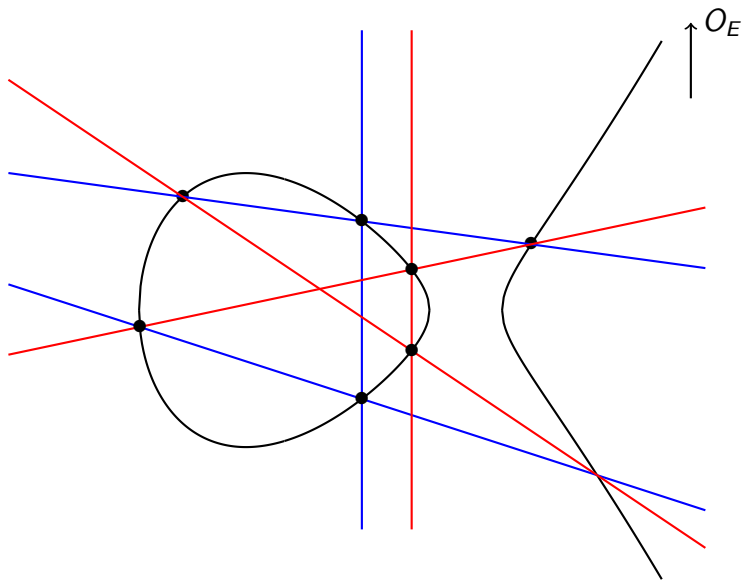


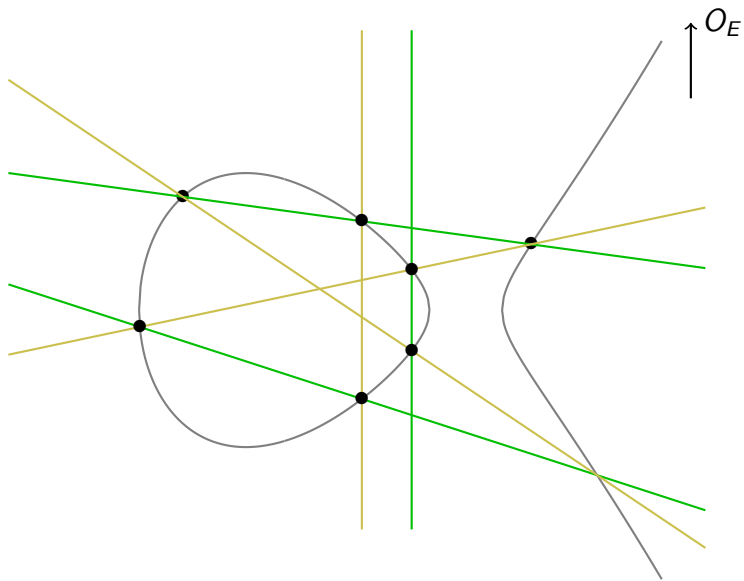




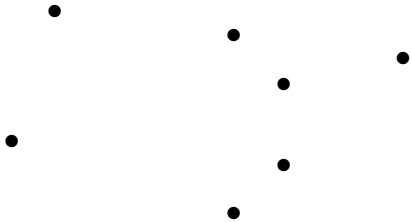


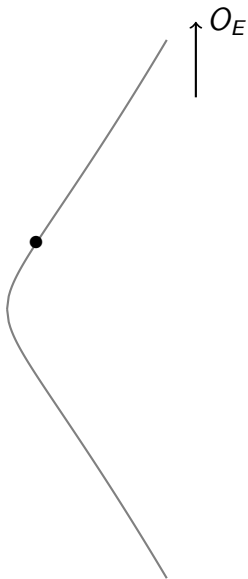
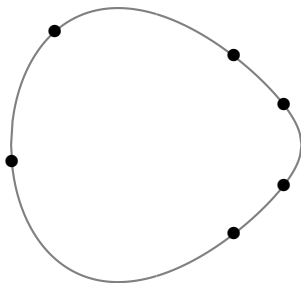




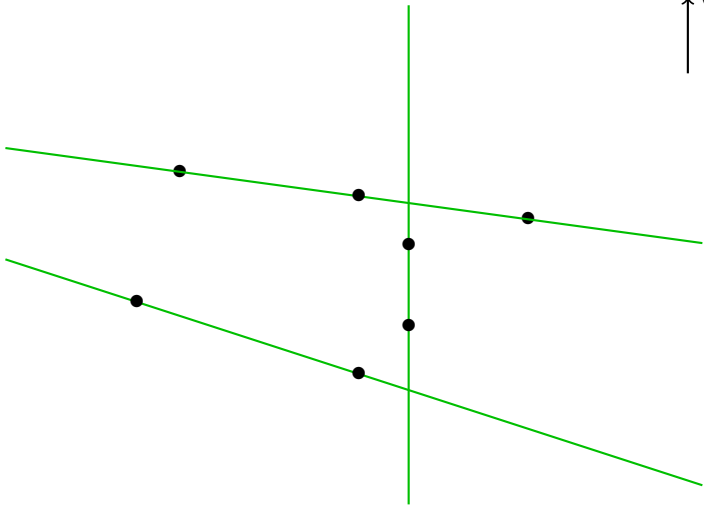


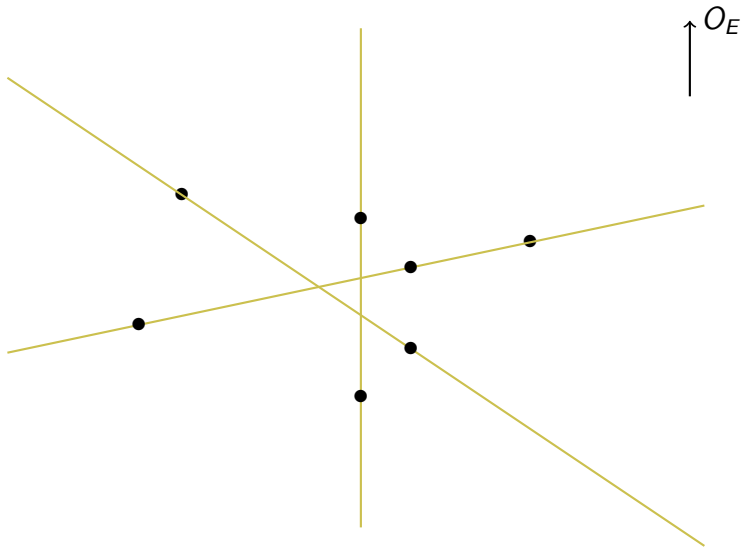
O_E

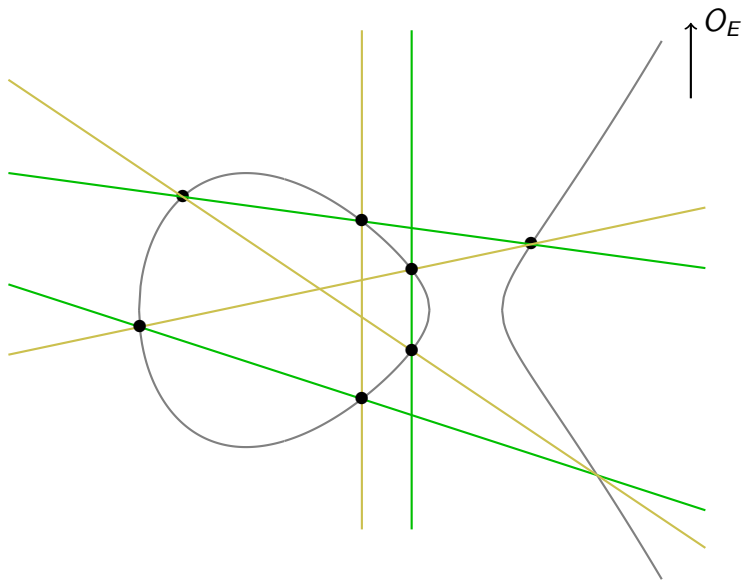




O_E







Dans le plan :

- (1) la courbe E
- (2) la réunion des trois droites vertes
- (3) la réunion des trois droites kaki

Dans le plan :

(1) la courbe E

(2) la réunion des trois droites vertes

(3) la réunion des trois droites kaki

sont chacune définie par l'annulation d'un polynôme P_1, P_2, P_3 de degré 3 en deux variables, soit de la forme

$$\begin{aligned} & a_1x^3 + a_2x^2y + a_3xy^2 + a_4y^3 \\ & + a_5x^2 + a_6xy + a_7y^2 \\ & + a_8x + a_9y \\ & + a_{10}. \end{aligned}$$

Dans le plan :

- (1) la courbe E
- (2) la réunion des trois droites vertes
- (3) la réunion des trois droites kaki

sont chacune définie par l'annulation d'un polynôme P_1, P_2, P_3 de degré 3 en deux variables, soit de la forme

$$\begin{aligned} & a_1x^3 + a_2x^2y + a_3xy^2 + a_4y^3 \\ & + a_5x^2 + a_6xy + a_7y^2 \\ & + a_8x + a_9y \\ & + a_{10}. \end{aligned}$$

La condition de passer par les huit points marqués (y compris O_E) donne huit relations linéaires sur a_1, a_2, \dots, a_{10} .

Dans le plan :

- (1) la courbe E
- (2) la réunion des trois droites vertes
- (3) la réunion des trois droites kaki

sont chacune définie par l'annulation d'un polynôme P_1, P_2, P_3 de degré 3 en deux variables, soit de la forme

$$\begin{aligned} & a_1x^3 + a_2x^2y + a_3xy^2 + a_4y^3 \\ & + a_5x^2 + a_6xy + a_7y^2 \\ & + a_8x + a_9y \\ & + a_{10}. \end{aligned}$$

La condition de passer par les huit points marqués (y compris O_E) donne huit relations linéaires sur a_1, a_2, \dots, a_{10} .

- ▶ P_1, P_2, P_3 vivent dans un sous-espace de dimension 2.

Dans le plan :

- (1) la courbe E
- (2) la réunion des trois droites vertes
- (3) la réunion des trois droites kaki

sont chacune définie par l'annulation d'un polynôme P_1, P_2, P_3 de degré 3 en deux variables, soit de la forme

$$\begin{aligned} & a_1x^3 + a_2x^2y + a_3xy^2 + a_4y^3 \\ & + a_5x^2 + a_6xy + a_7y^2 \\ & + a_8x + a_9y \\ & + a_{10}. \end{aligned}$$

La condition de passer par les huit points marqués (y compris O_E) donne huit relations linéaires sur a_1, a_2, \dots, a_{10} .

- ▶ P_1, P_2, P_3 vivent dans un sous-espace de dimension 2.
- ▶ Ils sont liés.

Dans le plan :

- (1) la courbe E
- (2) la réunion des trois droites vertes
- (3) la réunion des trois droites kaki

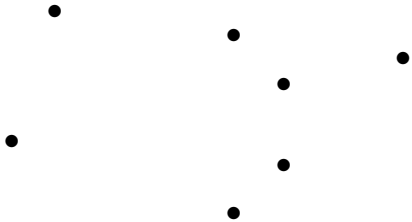
sont chacune définie par l'annulation d'un polynôme P_1, P_2, P_3 de degré 3 en deux variables, soit de la forme

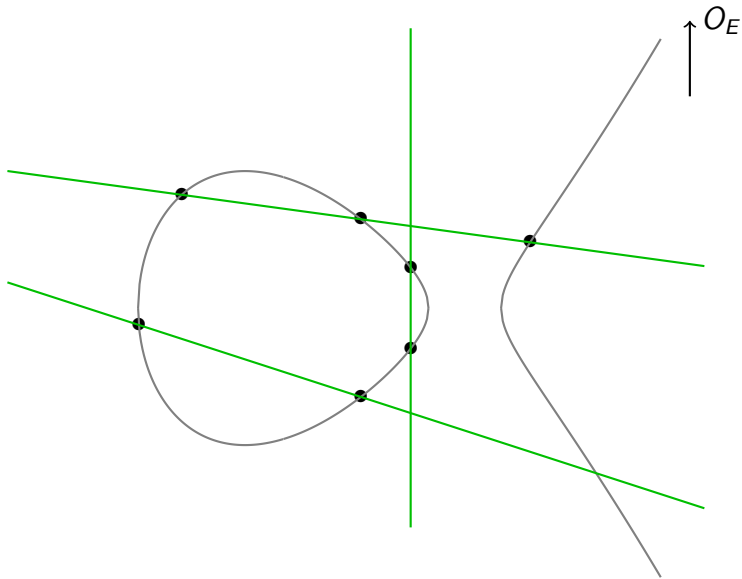
$$\begin{aligned} & a_1x^3 + a_2x^2y + a_3xy^2 + a_4y^3 \\ & + a_5x^2 + a_6xy + a_7y^2 \\ & + a_8x + a_9y \\ & + a_{10}. \end{aligned}$$

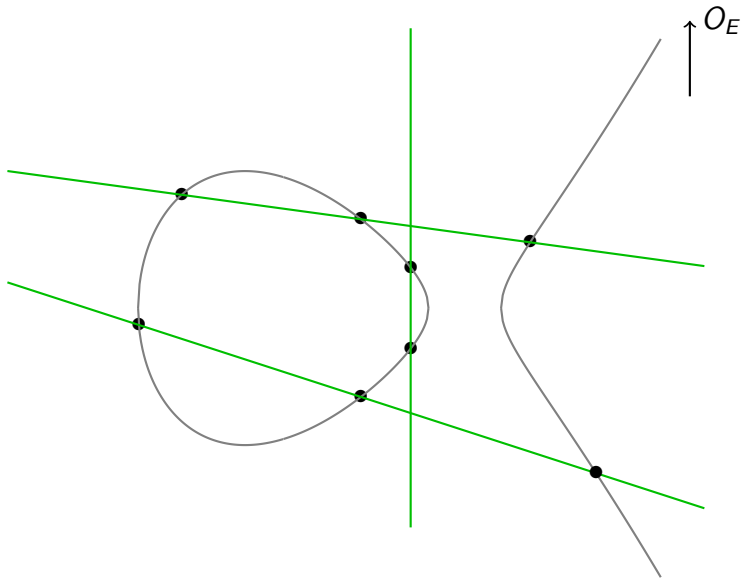
La condition de passer par les huit points marqués (y compris O_E) donne huit relations linéaires sur a_1, a_2, \dots, a_{10} .

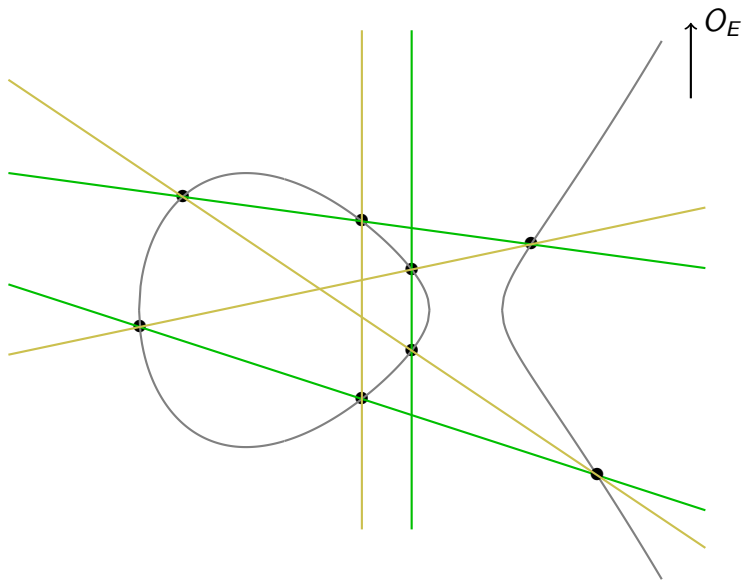
- ▶ P_1, P_2, P_3 vivent dans un sous-espace de dimension 2.
- ▶ Ils sont liés.
- ▶ Si P_1, P_2 ont un neuvième point d'annulation commun, alors P_3 aussi.

O_E









Codage

Dans cet exposé : codes correcteurs d'erreurs (linéaires).

Un code $[n, k, d]_{\mathbb{K}}$ est un sous- \mathbb{K} -espace vectoriel de \mathbb{K}^n de dimension k , dont deux éléments distincts quelconques diffèrent toujours en au moins d positions.

Paramètres :

- ▶ longueur n
- ▶ dimension k
- ▶ rendement $R = k/n$
- ▶ distance minimale d
- ▶ capacité de correction $(d - 1)/2$
- ▶ alphabet \mathbb{K} (corps, e.g. $\mathbb{K} = \mathbb{F}_q$ fini)

Code de Hamming $[7, 4, 3]_{\mathbb{F}_2} =$ le sous-espace $\mathcal{C} \subseteq (\mathbb{F}_2)^7$
engendré par les lignes de la matrice

$$\mathbf{G} = \begin{pmatrix} 1 & 0 & 0 & 0 & 1 & 1 & 0 \\ 0 & 1 & 0 & 0 & 1 & 0 & 1 \\ 0 & 0 & 1 & 0 & 0 & 1 & 1 \\ 0 & 0 & 0 & 1 & 1 & 1 & 1 \end{pmatrix}$$

$$\mathcal{C} = \{0000000, 1000110, 0100101, 1100011, 0010011, \\ 1010101, 0110110, 1110000, 0001111, 1001001, 0101010, \\ 1101100, 0011100, 1011010, 0111001, 1111111\}$$

Code de Hamming $[7, 4, 3]_{\mathbb{F}_2} =$ le sous-espace $\mathcal{C} \subseteq (\mathbb{F}_2)^7$
engendré par les lignes de la matrice

$$\mathbf{G} = \begin{pmatrix} 1 & 0 & 0 & 0 & 1 & 1 & 0 \\ 0 & 1 & 0 & 0 & 1 & 0 & 1 \\ 0 & 0 & 1 & 0 & 0 & 1 & 1 \\ 0 & 0 & 0 & 1 & 1 & 1 & 1 \end{pmatrix}$$

$$\mathcal{C} = \{0000000, 1000110, 0100101, 1100011, 0010011, \\ 1010101, 0110110, 1110000, 0001111, 1001001, 0101010, \\ 1101100, 0011100, 1011010, 0111001, 1111111\}$$

Alice veut envoyer un message $\mathbf{m} \in (\mathbb{F}_2)^4$, elle calcule $\mathbf{c} = \mathbf{mG}$
et l'envoie à Bob.

Code de Hamming $[7, 4, 3]_{\mathbb{F}_2}$ = le sous-espace $\mathcal{C} \subseteq (\mathbb{F}_2)^7$
engendré par les lignes de la matrice

$$\mathbf{G} = \begin{pmatrix} 1 & 0 & 0 & 0 & 1 & 1 & 0 \\ 0 & 1 & 0 & 0 & 1 & 0 & 1 \\ 0 & 0 & 1 & 0 & 0 & 1 & 1 \\ 0 & 0 & 0 & 1 & 1 & 1 & 1 \end{pmatrix}$$

$$\mathcal{C} = \{0000000, 1000110, 0100101, 1100011, 0010011, \\ 1010101, 0110110, 1110000, 0001111, 1001001, 0101010, \\ 1101100, 0011100, 1011010, 0111001, 1111111\}$$

Alice veut envoyer un message $\mathbf{m} \in (\mathbb{F}_2)^4$, elle calcule $\mathbf{c} = \mathbf{mG}$
et l'envoie à Bob.

Bob reçoit un mot bruité $\mathbf{c}' = (1001010)$.

Code de Hamming $[7, 4, 3]_{\mathbb{F}_2}$ = le sous-espace $\mathcal{C} \subseteq (\mathbb{F}_2)^7$
engendré par les lignes de la matrice

$$\mathbf{G} = \begin{pmatrix} 1 & 0 & 0 & 0 & 1 & 1 & 0 \\ 0 & 1 & 0 & 0 & 1 & 0 & 1 \\ 0 & 0 & 1 & 0 & 0 & 1 & 1 \\ 0 & 0 & 0 & 1 & 1 & 1 & 1 \end{pmatrix}$$

$$\mathcal{C} = \{0000000, 1000110, 0100101, 1100011, 0010011, \\ 1010101, 0110110, 1110000, 0001111, 1001001, 0101010, \\ 1101100, 0011100, 1011010, 0111001, 1111111\}$$

Alice veut envoyer un message $\mathbf{m} \in (\mathbb{F}_2)^4$, elle calcule $\mathbf{c} = \mathbf{m}\mathbf{G}$
et l'envoie à Bob.

Bob reçoit un mot bruité $\mathbf{c}' = (1001010)$.

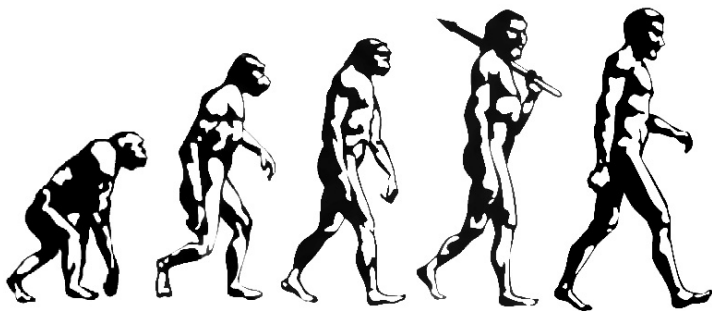
Dans \mathcal{C} il y a un unique mot à distance 1 de \mathbf{c}' , Bob le
trouve et en déduit $\mathbf{m} = (1011)$.

Historique succinct

- ▶ Shannon (1948) ← probabilités
- ▶ Hamming, Golay (1948-1950), ... MacWilliams (1960's), ... ← algèbre et combinatoire
- ▶ Manin, Goppa (1970's), Vladut, Tsfasman (1980's), ... ← arithmétique et géométrie algébrique

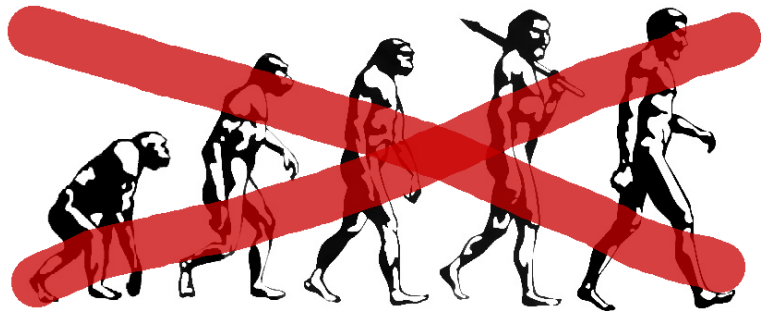
Historique succinct

- ▶ Shannon (1948) ← probabilités
- ▶ Hamming, Golay (1948-1950), ... MacWilliams (1960's), ... ← algèbre et combinatoire
- ▶ Manin, Goppa (1970's), Vladut, Tsfasman (1980's), ... ← arithmétique et géométrie algébrique



Historique succinct

- ▶ Shannon (1948) ← probabilités
- ▶ Hamming, Golay (1948-1950), ... MacWilliams (1960's),
... ← algèbre et combinatoire
- ▶ Manin, Goppa (1970's), Vladut, Tsfasman (1980's), ...
← arithmétique et géométrie algébrique



Problème fondamental : n donné, on voudrait avoir à la fois k et d grands.

Shannon, Gilbert-Varshamov : pour $n \rightarrow \infty$, on obtient de très bons codes en les tirant au hasard.

Pour n petit, on a de bonnes constructions algébriques.

Reed-Solomon : soient $\alpha_1, \dots, \alpha_n \in \mathbb{K}$ distincts,

$$\begin{array}{ccc} \mathbb{K}[X]_{\leq k-1} & \longrightarrow & \mathbb{K}^n \\ P & \longmapsto & (P(\alpha_1), \dots, P(\alpha_n)). \end{array}$$

L'image de cette application est un code $[n, k, d = n - k + 1]$
(preuve : un polynôme de degré $\leq k - 1$ admet $\leq k - 1$ racines).

C'est **optimal** ! (borne de Singleton)

Problème : si $\mathbb{K} = \mathbb{F}_q$ corps fini, ne fonctionne que pour $n \leq q$
(ou plutôt $n \leq q + 1$).

Solution : au lieu d'évaluer des polynômes sur \mathbb{P}^1 , on évalue des fonctions sur une courbe de genre plus élevé (Goppa).

Donnés :

- ▶ X une courbe sur \mathbb{F}_q de genre g
- ▶ $\mathcal{P} = \{P_1, \dots, P_n\}$ n points de X sur \mathbb{F}_q
- ▶ D un diviseur de degré m sur X

avec $g \leq m < n$.

Soient $\mathcal{L}(D)$ l'espace des fonctions sur X de pôles au plus D ,
et $\mathcal{C}(D, \mathcal{P})$ l'image de l'application d'évaluation

$$\begin{aligned} \mathcal{L}(D) &\rightarrow (\mathbb{F}_q)^n \\ f &\mapsto (f(P_1), \dots, f(P_n)). \end{aligned}$$

Alors $\mathcal{C}(D, \mathcal{P})$ est un code de paramètres

- ▶ $k = \dim \mathcal{L}(D) \geq m + 1 - g$ (Riemann-Roch)
- ▶ $d \geq n - m$.

Remarque : on est à g de la borne de Singleton

$$n + 1 - g \leq k + d \leq n + 1.$$

Par des résultats profonds d'arithmétique, on montre qu'il existe des courbes ayant un nombre de points qui croît linéairement avec g .

P.ex. $n \approx (p - 1)g$ si $q = p^2$, ce qui permet de battre la borne probabiliste dès que $p \geq 7$.

Algorithmes de multiplication

(et calcul réparti / partage de secret arithmétique)

$$\begin{array}{r} 2018 \\ \times 1729 \\ \hline \end{array}$$

$$\begin{array}{r} \mathbf{8} \\ \times \mathbf{1729} \\ \hline \mathbf{72} \end{array}$$

$$8 \bullet 9 = 72,$$

$$\begin{array}{r} \mathbf{18} \\ \times \mathbf{1729} \\ \hline \mathbf{62} \end{array}$$

$$8 \bullet 9 = 72, \quad 1 \bullet 9 = 9,$$

$$\begin{array}{r} \\ \times \\ \hline \\ \\ \end{array}$$

$$8 \bullet 9 = 72, \quad 1 \bullet 9 = 9, \quad 0 \bullet 9 = 0,$$

$$\begin{array}{r}
 \mathbf{2018} \\
 \times \mathbf{1729} \\
 \hline
 \mathbf{18162}
 \end{array}$$

$$8 \bullet 9 = 72, \quad 1 \bullet 9 = 9, \quad 0 \bullet 9 = 0, \quad 2 \bullet 9 = 18$$

$$\begin{array}{r} \mathbf{8} \\ \mathbf{1} \mathbf{7} \mathbf{2} \mathbf{9} \\ \hline \mathbf{1} \mathbf{8} \mathbf{1} \mathbf{6} \mathbf{2} \\ \mathbf{1} \mathbf{6} \end{array}$$

$$\begin{array}{l} \mathbf{8} \bullet \mathbf{9} = 72, \quad \mathbf{1} \bullet \mathbf{9} = 9, \quad \mathbf{0} \bullet \mathbf{9} = 0, \quad \mathbf{2} \bullet \mathbf{9} = 18 \\ \mathbf{8} \bullet \mathbf{2} = 16, \end{array}$$

$$\begin{array}{r}
 \\
 \\
 \times \\
 \hline
 1 \\
 0
 \end{array}$$

$$\begin{array}{l}
 8 \bullet 9 = 72, \quad 1 \bullet 9 = 9, \quad 0 \bullet 9 = 0, \quad 2 \bullet 9 = 18 \\
 8 \bullet 2 = 16, \quad 1 \bullet 2 = 2, \quad 0 \bullet 2 = 0,
 \end{array}$$

$$\begin{array}{r}
 \mathbf{2018} \\
 \mathbf{1729} \\
 \hline
 \mathbf{18162} \\
 \mathbf{4036} \\
 \hline
 \end{array}$$

$$\begin{array}{l}
 8 \bullet 9 = 72, \quad 1 \bullet 9 = 9, \quad 0 \bullet 9 = 0, \quad 2 \bullet 9 = 18 \\
 8 \bullet 2 = 16, \quad 1 \bullet 2 = 2, \quad 0 \bullet 2 = 0, \quad 2 \bullet 2 = 4
 \end{array}$$

$$\begin{array}{r}
 \\
 \\
 \times \\
 \hline
 1 \\
 4 \\
 5 \\
 \hline

 \end{array}$$

$$\begin{array}{l}
 8 \bullet 9 = 72, \quad 1 \bullet 9 = 9, \quad 0 \bullet 9 = 0, \quad 2 \bullet 9 = 18 \\
 8 \bullet 2 = 16, \quad 1 \bullet 2 = 2, \quad 0 \bullet 2 = 0, \quad 2 \bullet 2 = 4 \\
 8 \bullet 7 = 56,
 \end{array}$$

$$\begin{array}{r}
 2 \ 0 \ \mathbf{1} \ 8 \\
 1 \ \mathbf{7} \ 2 \ 9 \\
 \hline
 1 \ 8 \ 1 \ 6 \ 2 \\
 4 \ 0 \ 3 \ 6 \\
 1 \ 2 \ 6 \\
 \hline

 \end{array}$$

$$\begin{array}{l}
 8 \bullet 9 = 72, \quad 1 \bullet 9 = 9, \quad 0 \bullet 9 = 0, \quad 2 \bullet 9 = 18 \\
 8 \bullet 2 = 16, \quad 1 \bullet 2 = 2, \quad 0 \bullet 2 = 0, \quad 2 \bullet 2 = 4 \\
 8 \bullet 7 = 56, \quad 1 \bullet 7 = 7,
 \end{array}$$

$$\begin{array}{r}
 \\
 2 \\
 \times 1 \\
 \hline
 1 \\
 4 \\
 1 \\
 \hline

 \end{array}$$

$$\begin{array}{l}
 8 \bullet 9 = 72, \quad 1 \bullet 9 = 9, \quad 0 \bullet 9 = 0, \quad 2 \bullet 9 = 18 \\
 8 \bullet 2 = 16, \quad 1 \bullet 2 = 2, \quad 0 \bullet 2 = 0, \quad 2 \bullet 2 = 4 \\
 8 \bullet 7 = 56, \quad 1 \bullet 7 = 7, \quad 0 \bullet 7 = 0,
 \end{array}$$

$$\begin{array}{r}
 \mathbf{2018} \\
 \times \mathbf{1729} \\
 \hline
 18162 \\
 4036 \\
 14126 \\
 \hline

 \end{array}$$

$$8 \bullet 9 = 72, \quad 1 \bullet 9 = 9, \quad 0 \bullet 9 = 0, \quad 2 \bullet 9 = 18$$

$$8 \bullet 2 = 16, \quad 1 \bullet 2 = 2, \quad 0 \bullet 2 = 0, \quad 2 \bullet 2 = 4$$

$$8 \bullet 7 = 56, \quad 1 \bullet 7 = 7, \quad 0 \bullet 7 = 0, \quad 2 \bullet 7 = 14$$

$$\begin{array}{r}
 \mathbf{2018} \\
 \mathbf{1729} \\
 \hline
 18162 \\
 4036 \\
 14126 \\
 2018 \\
 \hline
 20181729
 \end{array}$$

$$8 \bullet 9 = 72, \quad 1 \bullet 9 = 9, \quad 0 \bullet 9 = 0, \quad 2 \bullet 9 = 18$$

$$8 \bullet 2 = 16, \quad 1 \bullet 2 = 2, \quad 0 \bullet 2 = 0, \quad 2 \bullet 2 = 4$$

$$8 \bullet 7 = 56, \quad 1 \bullet 7 = 7, \quad 0 \bullet 7 = 0, \quad 2 \bullet 7 = 14$$

$$8 \bullet 1 = 8, \quad 1 \bullet 1 = 1, \quad 0 \bullet 1 = 0, \quad 2 \bullet 1 = 2$$

$$\begin{array}{r}
 \\
 \\
 \\
 \times \\
 \hline
 \\
 \\
 1 \ 4 \ 1 \ 2 \ 6 \\
 2 \ 0 \ 1 \ 8 \\
 \hline
 3 \ 4 \ 8 \ 9 \ 1 \ 2 \ 2
 \end{array}$$

$$\begin{array}{l}
 8 \bullet 9 = 72, \quad 1 \bullet 9 = 9, \quad 0 \bullet 9 = 0, \quad 2 \bullet 9 = 18 \\
 8 \bullet 2 = 16, \quad 1 \bullet 2 = 2, \quad 0 \bullet 2 = 0, \quad 2 \bullet 2 = 4 \\
 8 \bullet 7 = 56, \quad 1 \bullet 7 = 7, \quad 0 \bullet 7 = 0, \quad 2 \bullet 7 = 14 \\
 8 \bullet 1 = 8, \quad 1 \bullet 1 = 1, \quad 0 \bullet 1 = 0, \quad 2 \bullet 1 = 2
 \end{array}$$

$$\begin{array}{r}
 \\
 \\
 \\
 \\
 \\
 \\
 \\
 \hline
 \\
 \hline

 \end{array}$$

$$\begin{array}{l}
 8 \bullet 9 = 72, \quad 1 \bullet 9 = 9, \quad 0 \bullet 9 = 0, \quad 2 \bullet 9 = 18 \\
 8 \bullet 2 = 16, \quad 1 \bullet 2 = 2, \quad 0 \bullet 2 = 0, \quad 2 \bullet 2 = 4 \\
 8 \bullet 7 = 56, \quad 1 \bullet 7 = 7, \quad 0 \bullet 7 = 0, \quad 2 \bullet 7 = 14 \\
 8 \bullet 1 = 8, \quad 1 \bullet 1 = 1, \quad 0 \bullet 1 = 0, \quad 2 \bullet 1 = 2
 \end{array}$$

$$(2X^3 + 0X^2 + 1X + 8)(1X^3 + 7X^2 + 2X + 9)$$

Multiplier deux polynômes de degré $k - 1$ demande k^2 multiplications bilinéaires \bullet . Peut-on faire mieux ?

Karatsuba (1962)

$$(u_0 + u_1 X)(v_0 + v_1 X) = u_0 \bullet v_0 + (u_0 \bullet v_1 + u_1 \bullet v_0)X + u_1 \bullet v_1 X^2$$

Karatsuba (1962)

$$\begin{aligned}(u_0 + u_1 X)(v_0 + v_1 X) &= u_0 \bullet v_0 + (u_0 \bullet v_1 + u_1 \bullet v_0)X + u_1 \bullet v_1 X^2 \\ &= u_0 \bullet v_0(1 - X) + (u_0 + u_1) \bullet (v_0 + v_1)X + u_1 \bullet v_1(X^2 - X)\end{aligned}$$

permet de multiplier deux polynômes de degré 1 avec trois \bullet au lieu de quatre.

Karatsuba (1962)

$$\begin{aligned}(u_0 + u_1 X)(v_0 + v_1 X) \\ = u_0 \bullet v_0 (1 - X) + (u_0 + u_1) \bullet (v_0 + v_1) X + u_1 \bullet v_1 (X^2 - X)\end{aligned}$$

permet de multiplier deux polynômes de degré 1 avec trois \bullet au lieu de quatre.

Peut s'appliquer itérativement, par exemple en degré 3 on écrit

$$\begin{aligned}u_0 + u_1 X + u_2 X^2 + u_3 X^3 &= (u_0 + u_1 X) + (u_2 + u_3 X) X^2 \\ v_0 + v_1 X + v_2 X^2 + v_3 X^3 &= (v_0 + v_1 X) + (v_2 + v_3 X) X^2\end{aligned}$$

et on les multiplie avec 9 \bullet au lieu de 16.

Karatsuba (1962)

$$\begin{aligned}(u_0 + u_1X)(v_0 + v_1X) \\ = u_0 \bullet v_0(1 - X) + (u_0 + u_1) \bullet (v_0 + v_1)X + u_1 \bullet v_1(X^2 - X)\end{aligned}$$

permet de multiplier deux polynômes de degré 1 avec trois \bullet au lieu de quatre.

Peut s'appliquer itérativement, par exemple en degré 3 on écrit

$$\begin{aligned}u_0 + u_1X + u_2X^2 + u_3X^3 &= (u_0 + u_1X) + (u_2 + u_3X)X^2 \\ v_0 + v_1X + v_2X^2 + v_3X^3 &= (v_0 + v_1X) + (v_2 + v_3X)X^2\end{aligned}$$

et on les multiplie avec 9 \bullet au lieu de 16.

Plus généralement on multiplie deux polynômes de degré $k - 1$ avec $\approx k^{\log_2(3)} \approx k^{1,585}$ \bullet au lieu de k^2 .

On va s'intéresser plus particulièrement à la multiplication dans les corps finis.

Rappel :

- ▶ tout corps fini est de la forme \mathbb{F}_q pour q une puissance d'un nombre premier
- ▶ si $q = p$ premier, $\mathbb{F}_p = \mathbb{Z}/p\mathbb{Z} = \{0, 1, 2, \dots, p-1\}$ avec $+$, \times modulo p
- ▶ $\mathbb{F}_{q^k} = \mathbb{F}_q[X]/(P)$ où P polynôme irréductible de degré k sur \mathbb{F}_q , i.e. $\mathbb{F}_{q^k} = \mathbb{F}_q[\alpha]$ où $P(\alpha) = 0$.

But : effectuer une multiplication dans \mathbb{F}_{q^k} en minimisant le nombre de \bullet dans \mathbb{F}_q .

On va s'intéresser plus particulièrement à la multiplication dans les corps finis.

Rappel :

- ▶ tout corps fini est de la forme \mathbb{F}_q pour q une puissance d'un nombre premier
- ▶ si $q = p$ premier, $\mathbb{F}_p = \mathbb{Z}/p\mathbb{Z} = \{0, 1, 2, \dots, p-1\}$ avec $+$, \times modulo p
- ▶ $\mathbb{F}_{q^k} = \mathbb{F}_q[X]/(P)$ où P polynôme irréductible de degré k sur \mathbb{F}_q , i.e. $\mathbb{F}_{q^k} = \mathbb{F}_q[\alpha]$ où $P(\alpha) = 0$.

But : effectuer une multiplication dans \mathbb{F}_{q^k} en minimisant le nombre de \bullet dans \mathbb{F}_q .

P.ex. Karatsuba s'applique pour $\mathbb{F}_4 = \mathbb{F}_2[\alpha]$ où $\alpha^2 = 1 + \alpha$:

$$\begin{aligned}(u_0 + u_1 X)(v_0 + v_1 X) \\ = u_0 \bullet v_0 (1 - X) + (u_0 + u_1) \bullet (v_0 + v_1) X + u_1 \bullet v_1 (X^2 - X)\end{aligned}$$

On va s'intéresser plus particulièrement à la multiplication dans les corps finis.

Rappel :

- ▶ tout corps fini est de la forme \mathbb{F}_q pour q une puissance d'un nombre premier
- ▶ si $q = p$ premier, $\mathbb{F}_p = \mathbb{Z}/p\mathbb{Z} = \{0, 1, 2, \dots, p-1\}$ avec $+$, \times modulo p
- ▶ $\mathbb{F}_{q^k} = \mathbb{F}_q[X]/(P)$ où P polynôme irréductible de degré k sur \mathbb{F}_q , i.e. $\mathbb{F}_{q^k} = \mathbb{F}_q[\alpha]$ où $P(\alpha) = 0$.

But : effectuer une multiplication dans \mathbb{F}_{q^k} en minimisant le nombre de \bullet dans \mathbb{F}_q .

P.ex. Karatsuba s'applique pour $\mathbb{F}_4 = \mathbb{F}_2[\alpha]$ où $\alpha^2 = 1 + \alpha$:

$$\begin{aligned}(u_0 + u_1\alpha)(v_0 + v_1\alpha) \\ = u_0 \bullet v_0(1 + \alpha) + (u_0 + u_1) \bullet (v_0 + v_1)\alpha + u_1 \bullet v_1\end{aligned}$$

En termes de codes, on cherche une décomposition

$$\begin{array}{ccc} \mathbb{F}_{q^k} \times \mathbb{F}_{q^k} & \xrightarrow{\times} & \mathbb{F}_{q^k} \\ \varphi \times \varphi \downarrow & & \uparrow \theta \\ (\mathbb{F}_q)^n \times (\mathbb{F}_q)^n & \xrightarrow{*} & (\mathbb{F}_q)^n \end{array}$$

où :

- ▶ $\varphi : \mathbb{F}_{q^k} \rightarrow (\mathbb{F}_q)^n$ application d'encodage, \mathbb{F}_q -linéaire
- ▶ $*$ est la multiplication coordonnée par coordonnée

$$(a_1, \dots, a_n) * (b_1, \dots, b_n) = (a_1 \bullet b_1, \dots, a_n \bullet b_n).$$

- ▶ $\theta : (\mathbb{F}_q)^n \rightarrow \mathbb{F}_{q^k}$ application de décodage, \mathbb{F}_q -linéaire.

Permet de faire une multiplication dans \mathbb{F}_{q^k} avec $n \bullet$ dans \mathbb{F}_q .

Attention : θ ne décode pas le code \mathcal{C} image de φ , mais le code $\mathcal{C} * \mathcal{C}$.

$$\begin{array}{ccc}
 \mathbb{F}_{q^k} \times \mathbb{F}_{q^k} & \xrightarrow{\times} & \mathbb{F}_{q^k} \\
 \varphi \times \varphi \downarrow & & \uparrow \theta \\
 (\mathbb{F}_q)^n \times (\mathbb{F}_q)^n & \xrightarrow{*} & (\mathbb{F}_q)^n
 \end{array}$$

Exemple : $q = 2$, $k = 2$, $n = 3$, Karatsuba

$$(u_0 + u_1\alpha)(v_0 + v_1\alpha) = u_0 \bullet v_0(1 + \alpha) + (u_0 + u_1) \bullet (v_0 + v_1)\alpha + u_1 \bullet v_1$$

s'écrit bien $\mathbf{uv} = \theta(\varphi(\mathbf{u}) * \varphi(\mathbf{v}))$

où

$$\varphi : \mathbf{u} = u_0 + u_1\alpha \mapsto \varphi(\mathbf{u}) = (u_0, u_0 + u_1, u_1)$$

$$\theta : (c_1, c_2, c_3) \mapsto c_1(1 + \alpha) + c_2\alpha + c_3.$$

$$\begin{array}{ccc}
 \mathbb{F}_{q^k} \times \mathbb{F}_{q^k} & \xrightarrow{\times} & \mathbb{F}_{q^k} \\
 \varphi \times \varphi \downarrow & & \uparrow \theta \\
 (\mathbb{F}_q)^n \times (\mathbb{F}_q)^n & \xrightarrow{*} & (\mathbb{F}_q)^n
 \end{array}$$

Plusieurs points de vue :

- ▶ complexité / algèbre bilinéaire $\rightarrow k$ donné, minimiser n
 \rightarrow rang du tenseur de multiplication dans \mathbb{F}_{q^k}
- ▶ calcul réparti $\rightarrow \mathbf{u} \in \mathbb{F}_{q^k}$ scindé en n parts (a_1, \dots, a_n)
distribuées à n entités distantes, idem pour \mathbf{v} en
 (b_1, \dots, b_n) ; calculer $\mathbf{u} + \mathbf{v}$ revient à faire les opérations
locales $a_i + b_i$ ou $a_i \bullet b_i$; tolérance aux fautes = $d(\mathcal{C} * \mathcal{C})$
- ▶ partage de secret à seuil \rightarrow idem en exigeant qu'il soit
difficile de retrouver \mathbf{u} à partir d'un nombre limité des a_i
 $\rightarrow d(\mathcal{C}^\perp)$

Comment construire une telle décomposition ?

Karatsuba pour \mathbb{F}_4 fonctionne par **évaluation-interpolation**.

Donnés $\mathbf{u} = P_{\mathbf{u}}(\alpha)$ avec $P_{\mathbf{u}} = u_0 + u_1X$
et $\mathbf{v} = P_{\mathbf{v}}(\alpha)$ avec $P_{\mathbf{v}} = v_0 + v_1X$.

Évaluation (en $0, 1, \infty$)

$$\begin{aligned}u_0 &= P_{\mathbf{u}}(0), & u_0 + u_1 &= P_{\mathbf{u}}(1), & u_1 &= P_{\mathbf{u}}(\infty) \\v_0 &= P_{\mathbf{v}}(0), & v_0 + v_1 &= P_{\mathbf{v}}(1), & v_1 &= P_{\mathbf{v}}(\infty)\end{aligned}$$

Puis on calcule $c_1 = u_0 \bullet v_0$, $c_2 = (u_0 + u_1) \bullet (v_0 + v_1)$, $c_3 = u_1 \bullet v_1$.

Interpolation

Par interpolation de Lagrange on trouve un (unique) polynôme de degré 2 tel que $Q(0) = c_1$, $Q(1) = c_2$, $Q(\infty) = c_3$.

Mais le polynôme produit $P_{\mathbf{u}}P_{\mathbf{v}}$ vérifie aussi ces conditions. On en déduit $P_{\mathbf{u}}P_{\mathbf{v}} = Q$, puis en évaluant en α , on trouve

$$\mathbf{uv} = Q(\alpha).$$

Généralisation à une extension de degré k :

- ▶ Les éléments de l'extension sont représentés par des polynômes de degré $k - 1$.
- ▶ Le produit de deux tels polynômes est de degré $2k - 2$.
- ▶ Pour retrouver ce polynôme produit par interpolation de Lagrange, on a besoin de ses valeurs en $2k - 1$ points.

Problème : on travaille sur un corps de base \mathbb{F}_q fixé, on ne peut pas prendre k arbitrairement grand.

Par exemple sur \mathbb{F}_2 , on a déjà utilisé les points $\{0, 1, \infty\}$ de \mathbb{P}^1 ... il n'y en a pas d'autres !

Généralisation à une extension de degré k :

- ▶ Les éléments de l'extension sont représentés par des polynômes de degré $k - 1$.
- ▶ Le produit de deux tels polynômes est de degré $2k - 2$.
- ▶ Pour retrouver ce polynôme produit par interpolation de Lagrange, on a besoin de ses valeurs en $2k - 1$ points.

Problème : on travaille sur un corps de base \mathbb{F}_q fixé, on ne peut pas prendre k arbitrairement grand.

Par exemple sur \mathbb{F}_2 , on a déjà utilisé les points $\{0, 1, \infty\}$ de \mathbb{P}^1 ... il n'y en a pas d'autres !

Solution (Chudnovsky-Chudnovsky) : évaluation-interpolation sur une courbe de genre plus élevé.

Supposons donnés :

- ▶ X une courbe sur \mathbb{F}_q de genre g
- ▶ P_1, \dots, P_n points de X sur \mathbb{F}_q
- ▶ Q un point de X sur \mathbb{F}_{q^k}
- ▶ D un diviseur sur X

tels que

- ▶ l'évaluation $\mathcal{L}(D) \rightarrow \mathbb{F}_{q^k}, f \mapsto f(Q)$ soit surjective
- ▶ l'évaluation $\mathcal{L}(2D) \rightarrow (\mathbb{F}_q)^n, h \mapsto (h(P_1), \dots, h(P_n))$ soit injective.

Alors par évaluation-interpolation on en déduit un algorithme de multiplication dans \mathbb{F}_{q^k} avec $n \bullet$ dans \mathbb{F}_q .

Supposons donnés :

- ▶ X une courbe sur \mathbb{F}_q de genre g
- ▶ P_1, \dots, P_n points de X sur \mathbb{F}_q
- ▶ Q un point de X sur \mathbb{F}_{q^k}
- ▶ D un diviseur sur X

tels que

- ▶ l'évaluation $\mathcal{L}(D) \rightarrow \mathbb{F}_{q^k}, f \mapsto f(Q)$ soit surjective
- ▶ l'évaluation $\mathcal{L}(2D) \rightarrow (\mathbb{F}_q)^n, h \mapsto (h(P_1), \dots, h(P_n))$ soit injective.

Alors par évaluation-interpolation on en déduit un algorithme de multiplication dans \mathbb{F}_{q^k} avec $n \bullet$ dans \mathbb{F}_q .

Résultat (Chudnovsky-Chudnovsky) : on sait construire de tels objets avec g, n linéaires en $k \rightarrow$ complexité linéaire en k !

Supposons donnés :

- ▶ X une courbe sur \mathbb{F}_q de genre g
- ▶ P_1, \dots, P_n points de X sur \mathbb{F}_q
- ▶ Q un point de X sur \mathbb{F}_{q^k}
- ▶ D un diviseur sur X

tels que

- ▶ l'évaluation $\mathcal{L}(D) \rightarrow \mathbb{F}_{q^k}$, $f \mapsto f(Q)$ soit surjective
- ▶ l'évaluation $\mathcal{L}(2D) \rightarrow (\mathbb{F}_q)^n$, $h \mapsto (h(P_1), \dots, h(P_n))$ soit injective.

Alors par évaluation-interpolation on en déduit un algorithme de multiplication dans \mathbb{F}_{q^k} avec $n \bullet$ dans \mathbb{F}_q .

Cas particulier $q = p^2$, $p \geq 5$ (Shparlinski-Tsfasman-Vladut, H.R.) on y arrive avec $2k + 1 - g = n \approx (p - 1)g$, d'où une complexité $n \approx 2(1 + \frac{1}{p-2})k$.

Analogie entre fibrés vectoriels, réseaux euclidiens, et codes